

Vysoká škola: strojní a textilní
Katedra: obrábění a montáže

Fakulta: strojní
Školní rok: 1989/90

ZADÁNÍ DIPLOMOVÉ PRÁCE (PROJEKTU, UMĚLECKÉHO DÍLA, UMĚLECKÉHO VÝKONU)

pro Luboše Dostála
obor 23-07-8 strojírenská technologie

Vedoucí katedry Vám ve smyslu nařízení vlády ČSSR č. 90/1980 Sb., o státních závěrečných zkouškách a státních rigorozních zkouškách, určuje tuto diplomovou práci:

Název tématu: Broušení a leštění povrchů nádob z antikorozních ocelí v podmírkách ZVÚ Hradec Králové.

Zásady pro vypracování:

1. Úvod
2. Rozbor stávajících poznatků o broušení a leštění.
3. Zkoumání vlivu různých druhů brousicích kotoučů na stav povrchové vrstvy po broušení a leštění antikorozních ocelí.
4. Návrh technologie broušení a leštění v ZVÚ Hradec Králové.
5. Zhodnocení výsledků a závěr.

1/58/90S

VYSOKÁ ŠKOLA STROJNÍ A TEXTILNÍ
Ústřední knihovna
LIBEREC 1, STUDENTSKÁ 8
PSČ 461 17

KOM/OM

Rozsah grafických prací: dle potřeby

Rozsah průvodní zprávy: 50 - 60 stran textu

Seznam odborné literatury:

- 1/ GAŠPÁREK, J.: Dokončovacie sposoby obrábania. 1.vyd. ALFA Bratislava - SNTL Praha 1979
- 2/ MERUŇKA - DREJNAR: Elektrochemické obrábění vnitřních povrchů UKT a CKT. /Výzkumná zpráva/. Hradec Králové, ZVÚ Hradec Králové, 1986

Vedoucí diplomové práce: Ing. Jan Jersák, CSc.

Konzultanti: Ing. J. Festa - ZVÚ Hradec Králové
s. Meruňka - "
Ing. Janoušek - "

Datum zadání diplomové práce: 10. 10. 1989

Termín odevzdání diplomové práce: 4. 6. 1990
17 srpna 1990



Gazda
Dec.Ing.Jaromír Gazda,CSc.
Vedoucí katedry

Prášil
Prof.Ing.Vladimír Prášil,DrSc.
Děkan

v Liberci dne 10.10. 1989

Vysoká škola strojní a textilní Liberec

Fakulta strojní

Katedra obrábění a montáže

**obor 23 - 07 - 8 - strojírenská technologie
zaměření • obrábění a montáž**

**BROUŠENÍ A LEŠTĚNÍ POVRCHU NÁDOB Z ANTIKOROZIVNÍCH
OCELÍ V PODMÍNKÁCH ZVÚ HRADEC KRÁLOVÉ**

KOM - OM - 678

Luboš DOSTÁL

Vedoucí práce : ing. Jan Jersák CSC VŠST Liberec

Konzultanti : ing. J. Janešek VŠST Liberec

ing. J. Festa ZVÚ Hradec Králové

Počet stran ..67

Počet příloh a tabulek ...6

Počet obrázků ..15

Počet výkresů ...0

Počet modelů

nebo jiných příloh ...0

UNIVERZITNÍ KNIHOVNA
TECHNICKÉ UNIVERZITY U LIBERCI

3146076257

Datum : 12.8. 1990

**„ Místopřisežně prohlašuji, že jsem diplomovou práci
vypracoval samostatně s použitím uvedené literatury.“**

V Liberci dne 20.7. 1990

Luboš Dostál

Na závěr svého studia na Vyšeké škole strojní a textilní v Liberci předkládám diplomovou práci.

Při této příležitosti bych touto cestou chtěl poděkovat vedoucímu diplomové práce ing.. J.Jersákovi CSC, kenzultantu ing. J.Janouškovi a ing.. J.Festovi za cenné vědomosti, poskytnuté při zpracování zadání.

V Liberci dne 12.8. 1990

OBSAH

1.	Úvod7
2.	Rezber stávajících poznatků o broušení a leštění9
2.1.	Charakteristika procesu broušení9
2.1.1.	Druhy broušení	...10
2.1.2.	Stroje na broušení	...11
2.1.3.	Řezný nástroj v procesu broušení	...12
2.1.4.	Hodnocení efektivnosti procesu broušení	...16
2.1.5.	Řezné podmínky při jemném broušení	...16
2.1.6.	Použití řezných kapalin v procesu broušení	...17
2.2.	Charakteristika procesu leštění a jeho rozdělení	...19
2.2.1.	Mechanické leštění	...20
2.2.2.	Elektrochemické leštění	...22
2.2.3.	Chemické leštění	...24
2.3.	Řešení broušení a leštění v podmírkách ZVÚ Hradec Králové	...25
2.3.1.	Mechanické broušení výrobků z antikorozivních ocelí	...25
2.3.2.	Mechanické leštění výrobků z antikorozivních ocelí	...27
2.3.3.	Elektrochemické leštění nádob z antikorozivních ocelí	...28
3.	Vliv různých druhů brousících kotoučů na stav povrchové vrstvy po broušení a leštění antikorozivních ocelí	...31
3.1.	Obecný postup zpracování úkolu	...31
3.2.	Experimentální část - proces broušení	...33

3.2.1.	Materiál, rozměry a výroba vzorků	
	z antikerezivních ocelí	...33
3.2.2.	Použitý pracovní stroj a volba řezných	
	podmínek	...36
3.2.3.	Použité brousící kotouče	...37
3.2.4.	Vyvažování a rovnávání brousících kotoučů	...38
3.2.5.	Použité řezné kapaliny	...39
3.2.6.	Zjištování úbytku kotouče, použité zařízení	...39
3.2.7.	Zjištování úbytku broušeného materiálu	...41
3.2.8.	Stanovení poměrného obrusu	...41
3.2.9.	Měření drsnosti povrchu	...42
3.2.10.	Zjištění průměrné drsnosti povrchu z náhodného	
	výběru v tolerančních mezích	...42
3.2.11.	Určení zbytkových pnutí v povrchové vrstvě	
	materiálu vzorku	...44
3.2.12.	Naměřené a vypočtené hodnoty	...46
3.3.	Experimentální část - proces el.chem. leštění	...53
3.3.1.	Použité vzorky	...53
3.3.2.	Leštící zařízení a podmínky leštění	...53
3.3.3.	Příprava a provádění technologického procesu	
	el.chem. obrábění	...55
3.3.4.	Měření drsnosti povrchu a naměřené hodnoty	...56
4.	Hodnocení procesu broušení a leštění	...58
4.1.	Vyhodnocení výsledků	...59
5.	Návrh technologie broušení a leštění v podmírkách	
	ZVÚ Hradec Králové	...64
6.	Závěr	...66
OBSAH PŘÍLOH		
	Grafické záznamy měření drsnosti povrchu	...1
	Hodnoty povrchových napětí	...2

1. ÚVOD

Při stálém zvyšování požadavků, které se klade na jakost výrobků, nabírá stále větší význam i povrchová úprava kovů. Požadavek zlepšení kvality výrobků je přitom nejen oprávněná, ale i nutná, protože je znakem technického pokroku, nutí výrobce vymýšlet nové modernější výrobky, zlepšovat organizaci práce a zvyšovat efektivnost výroby.

I v oblasti povrchových úprav v strojírenství je třeba zavádět moderní technologické postupy a tím zlepšovat a zkvalitňovat upravované výrobky. Protože ve většině strojírenských podnicích končí se výrobní proces povrchovou úpravou výrobků, reprezentuje i malé zdokonalení technologie povrchové úpravy velké úspory. Správně a kvalitně provedená povrchová úprava nejen prodlužuje životnost výrobků, ale dodává jim i estetický vzhled a tím zvyšuje jejich prodejnost. Dalším úkolem kvalitních povrchů je odstranění nerevnosti povrchu v takové míře aby se v něm nezachycovaly mikroskopické části cizí látky. Jinak by to mohlo mít neblahý vliv na kvalitu produktů přicházejících do styku s těmito povrchy.

Jednou z nejdůležitějších oblastí výrobního procesu je bezesporu obrábění. Mezi známé a používané způsoby obrábění patří broušení. Výzkum procesu broušení je velmi důležitý z hlediska technických a ekonomických potřeb současné výroby. Broušení plní několik základních úkolů. Již dávno není jen procesem dokončovacím, kde se klade požadavek především na přesnost a jakost obrobku. Může být i procesem hrubovacím, často je totiž broušení jediným vhodným způsobem obrábění těžkoobrabitelných materiálů.

Naopak leštění a zvláště elektrochemické leštění

je oblast obrábění kovů, která nenalezla v ČSFR plné uplatnění. V zahraničí si tato technologie už našla své místo při výrobě kvalitních povrchů vzhledem k svým příznivým ekonomickým důvodům a jakosti obroběné plochy.

Konkrétní úlohou v oblasti povrchových úprav je dnes zavedení a široké uplatnění automatizace, plynulých výrobních linek na všechny operace, vyřazení namáhavé ruční práce zavedením moderních technologií a pod.

K zavedení moderní technologie je nutné především popularizovat nové poznatky vědy a techniky a jejich realizaci v praxi.

K tomuto by také měla přispět má diplomová práce, která se zabývá technologií broušení a leštění. Konkrétním cílem této práce je posoudit řešivost seboru brousících ketoučů při broušení antikerezivních ocelí třídy 17 a vypracovat návrhy technologie pro použité materiály jak v procesu broušení tak v procesu leštění se zhodnocením výsledků měření.

2. ROZBOR STÁVAJÍCÍCH POZNATKŮ O BROUŠENÍ A LEŠTĚNÍ

2.1. CHARAKTERISTIKA PROCESU BROUŠENÍ /1/

Broušení je nejrozšířenější způsob dokončovacího procesu obrábění kovů.

Brusná zrna jsou z technologického hlediska malé řezné zuby rozložené nepravidelně s různým převýšením po obvodě a čele kotouče. Jejich velikost se při jemném broušení pohybuje od 60 do 300 μm .

Zásadní rozdíl mezi broušením a frézováním mimo jiné odlišnosti je ve velikosti průměru odebrané třísky a neurčité geometrii řezného klínu převážně se záporným úhlem čela.

Pro výpočet řezné rychlosti kotouče v_k platí podle Gašpárka [1] vztah:

$$v_k = \frac{\pi \cdot D \cdot n}{60} \quad (\text{m} \cdot \text{s}^{-1}) \quad (1)$$

D - průměr brousícího kotouče (m)

n - otáčky brousícího kotouče (min^{-1})

Obvodová rychlosť brousícího kotouče se v praxi pohybuje od 10 do 80 $\text{m} \cdot \text{s}^{-1}$.

Velká tvrdost brusných zrn a velké řezné rychlosti umožňují brousit všechny známé kovové i nekovové materiály. Broušením je možné dosáhnout poměrně lehce kvalitní povrch a vysokou geometrickou přesnost tvaru i rezměru.

Při vysokých řezných rychlostech a negativních úhlech čela se vyvíjí v místě řezu velké množství tepla. Přitem

teplota třísky je až 1200°C . Do obrobku odchází zhruba 70% této tepla.

2.1.1. DRUHY BROUŠENÍ /2/

Po dle typu broušicího nástroje se rozlišují tyto druhy broušení: 1. vázaným pevným brusivem- zrna brusiva jsou stmelena pejivem do tvaru nástroje.

2. volným brusivem- využití zrn ve formě prášku.

Nejčastěji se používá obrábění vázaným brusivem.

Po dle kinematiky procesu můžeme broušení rotačních ploch tradičními broušicími koteuči rozdělit na broušení podélné, zapichovací, bezhrané, vnitřní podélné a vnitřní zapichovací.

Broušení rovinných ploch rozdělujeme na broušení obvodem a čelem koteuče.

Další speciální druhy broušení jsou oscilační broušení, rychlostní, elektrochemické, a diamantové.

Oscilační broušení je takové, při kterém do kinematiky procesu včleníme ještě další přídavný oscilační pohyb.

Když při oddělování částic materiálu využijeme princip elektrochemického úběru materiálu spolu s mechanickým broušením můžeme hovořit o elektrochemickém broušení. O rychlostním broušení hovoříme je-li při broušení obvodová rychlosť koteuče vyšší než 40 m.s^{-1} . Má-li brusivo diamantový charakter pak je nazýváme diamantovým broušením. Jemně brousit můžeme všemi uvedenými způsoby.

2.1.2. STROJE NA BROUŠENÍ /1/

Pedle teho jaké plechy a součástky brousíme, můžeme brusky rozdělit na několik skupin:

- a) brusky na vnější rotační plechy a čela
- b) brusky na vnitřní rotační plechy a čela
- c) brusky na revinné plechy
- d) nástrojové brusky
- e) závitové brusky
- f) brusky na ozubení
- g) jednoúčelové brusky

Brusky na vnější rotační plechy mohou být hrotové a nebo bezhreté. Brusky na revinné plechy se vyrábějí na broušení vederevných a nebo svislých revinných plech. Jestliže má bruska mimo základních pohybů ještě i přídavný oscilační pohyb kroužce nebo obrobku, mluvime o oscilačních bruskách. Když se při broušení využívá princip elektrochemického úběru materiálu, označujeme takové stroje za brusky elektrochemické.

Brusky se označují typevou zkratkou např. BUA 16A x 250, která se skládá z písmenového označení, udávajícího koncept stroje a z číselného označení, které určuje maximální velikost stroje. Numerické označení se skládá z hlavního parametru (oběžný průměr hrotových brusek v cm) a doplnkového parametru (maximální délka upnutého obrobku).

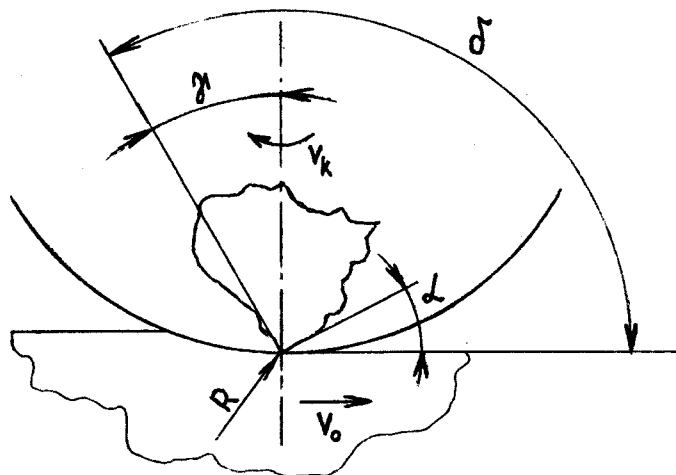
př. BUA 16A x 250 je hrotová univerzální bruska se samečinným pracovním cyklem a se zvýšenou přesností, s maximálním oběžným průměrem součástky 160 mm a vzdáleností mezi hroty 250 mm.

2.1.3. ŘEZNÝ NÁSTROJ V PROCESU BROUŠENÍ /2/

Při broušení se v praxi nejčastěji používá brousící keteuč jako řezný nástroj. Brousící keteuč se skládá ze zrn brusiva, která jsou mezi sebou spojena pojivem v jeden půrovitý celek. Brousící nástroj se vyznačuje neuspořádaným rozložením zrn na jeho pracovní ploše. Na činné ploše brousícího nástroje jsou nepravidelně rozložená zrna stmelená pojivem. Toto rezmístění vytváří přerušovaný břit s různou výškou zrn. Všechna zrna brousícího nástroje nemusí být rovnoměrně zatížena. Kromě nestejné výšky zrn má obvykle keteuč nedokonalý geometrický tvar a určité házení. Může nastat i případ, kdy třísku odebírá současně několik dílčích břitů jednoho zrna. Nejvíce jsou zatížena zrna vystupující nad ideální válcový povrch. Ostatní zrna po určité dobu nepracují. Tyto zrna začínají působit až po spotřebování vyšších zrn nebo po erovnání.

Nejvýhodnější tvar zrn brusiva je mnohohran s velkým množstvím pevnkových nepravidelností, vytvářejících ostré břity. Nástroj má v podstatě ne definovatelnou geometrii. Brousící keteuč totiž není stálý, během obrábění se jeho geometrie mění. Tvar břitu a řezné úhly závisí na uložení zrna v brousícím koteuči. Zrna brusiva mají úhel řezu δ vždy větší než 90° , poměrně velký úhel hřbetu λ , obvykle záporný úhel čela γ a zaobljené vrcholy. / obr.1 / Neurčitost vzájemné polohy zrn brusiva a různorodost geometrie zrn způsobují nepravidelný úběr třísky jednotlivými zrny brusiva. Odebírané třísky mají obvykle velmi malé průřezy ($0,0001 \text{ mm}^2$ až $0,002 \text{ mm}^2$), což je také příčinou velkého měrného řezného odporu (30 000 až 60 000 MPa).

Pedle ČSN 22 45 01 je jakost broušicího keteuče určena druhem broušicího materiálu, zrnitostí, tvrdestí keteuče, silem keteuče a druhem pojiva.



Obr. 1 Geometrie břitu broušicího zrna

Druh broušicího materiálu se volí podle druhu a vlastností broušeného materiálu. Na výrobu broušicích keteučů se používá přírodního nebo umělého brusiva.

Brusivo je krystalická látka, jejíž částice jsou tak tvrdé, houževnaté a estrehrané, že jimi lze obroušovat jiné, měkké hmety. Mezi přírodní brusiva patří tyto nerosty: leštící růže a okry, pemza, břidlice, pískevce, pazeurek, křemen, granát, smírek, přírodní kerund a diamant. Většinou ale má přírodní brusivo nestejnou jakost a stále častěji se nahrazuje brusivem umělým. Mezi obvyklá umělá brusiva se řadí: umělý korund - Elektrit / tavený kysličník hlinity Al_2O_3 /, karbid křemíku - Karberundum / SiC /, karbid běru / B_4C /, syntetický diamant a kubický nitrid běru.

Zrnitost brusiva je určena měrným rozměrem zrna.

Zrnitost brusícího nástroje se volí podle požadované jakesti breušeného povrchu obrobku. Pro volbu brusiva platí tyto zásady: a) čím se ubírá více materiálu, tím se volí zrno

hrubší

- b) pro velké styčné plochy mezi obrobkem a koteučem
- a pro velké řezné rychlosti se volí zrno hrubší
- c) čím menší zahrátí lze u obrobku připustit, tím se volí jemnější zrnitost

Tvrdest koteuče je odolnost zrn busiva proti vydrolévání, které probíhá při breušení. Tato tvrdest nevyjadřuje skutečnou tvrdest brusícího materiálu, je mírou houževnatosti. Volí se podle druhu breušeného materiálu a způsobu breušení. Tvrdest brusícího koteuče není dána tvrdestí zrn brusiva, ale druhem pojiva. Správný koteuč má takové pojivo, které zadržuje brusící zrna jen po jejich otupení. Potom se vydrolují nebo odstraňují odrovnáváním. Při nesprávně zvolené tvrdesti brusícího koteuče je zrno vylamováno ještě neotupené a koteuč se rychle opotřebovává (jde o málo tvrdý koteuč) nebo se velmi rychle zahřívá (přiliš tvrdý koteuč). Brusící koteuč volíme tím měkkčí, čím tvrdší je broušený předmět a čím větší je styčná plocha brusícího koteuče s breušeným předmětem.

Pojiva rozdělujeme na anorganická a organická. Mezi anorganická pojiva patří pojiva keramická, silikátevá, magnezitevá. K organickým pojivům se řadí šelak, pryz a umělé pryskyřice. Nejčastěji používaná (70%) jsou keramická pojiva. Mají dostatek pevnosti, nepůsobí na ně voda, olej, řezné kapaliny a teplo. Jsou však křehká a s malou pevností v ohýbu.

Strukturem (slohem) brousících nástrojů se rozumí poměr objemu pér k celkovému objemu brusícího tělesa. Tento pe-

měr má být stejný v celém objemu brousicího kotouče. Strukturu kotouče je nutno volit podle druhu broušeného materiálu, způsobu broušení a podle předepsané jakosti broušeného povrchu. Na broušení hladkých předmětů z tvrdého a křehkého materiálu při malé styčné ploše broušení se doporučuje silný hutný. Na broušení houževnatého materiálu při velké styčné ploše jsou vhodné kotouče párovité. Nesmí-li se broušený materiál příliš ohřívat, je třeba volit kotouče zvlášť párovité.

Správná volba kotouče je obtížná a záleží na mnoha činitelích. Např. na :

- a) vlastnostech broušeného materiálu jako je pevnost v tahu, tvrdest, houževnatost...
- b) druhou brousicí operace (polez brousicího kotouče k broušenému předmětu)
- c) podmínkách, při nichž se brousí
 - 1. stroj- druh a typ stroje, obvodová rychlosť brousicího kotouče, rychlosť posuvu....
 - 2. brusič- jde o jeho odbornost a zkušenosť
 - 3. technický stav brousicího stroje
 - 4. broušený předmět- obrobek : jeho velikost, tvar, stav, požadovaná drsnost povrchu....
 - 5. rovnání kotouče
 - 6. chlazení

Brousicí kotouče se označují podle normy ČSN 22 40 10.

Kotouče se označí soustavou čísel a písmen, která určují jeho tvar, druh a jakost.

Např. D x B x d A 99 25 K 9V

kde : D ... vnější průměr brousicího kotouče (mm)
B ... šířka kotouče (mm)

d ... průměr díry (mm)
 A 99... materiál brusiva
 25 ... zrnitest
 K ... tvrdost broušicího kotouče
 9 ... pérovitest
 V ... druh pojiva

2.1.4. HODNOCENÍ EFEKTIVNOSTI PROCESU BROUŠENÍ /2/

Pro hodnocení efektivnosti procesu broušení se používají různé ukazatele :

1. úběr určený objemem odebraného materiálu $\bar{U}M$ (mm^3) za min.
2. spotřebení nástroje, určené jeho spotřebou, $\bar{U}K$ (mm^3)
3. poměrný obrus $P_0 = \frac{\bar{U}M}{\bar{U}K}$ (2)
4. trvanlivost nástroje T (min)
5. drsnost obroběné plochy R_a (μm)

2.1.5. ŘEZNÉ PODMÍNKY PŘI JEMNÉM BROUŠENÍ /1/, /7/

Orientačně je možno uvést, že při klasickém jemném broušení je přísuv kotouče do materiálu $t = 0,01$ mm, posuv kotouče $s = 3 mm \cdot et^{-\frac{1}{2}}$, přídavek na obroušení bývá 0,01 až 0,02 mm. Při volbě řezných podmínek je třeba si uvědomit vliv těchto parametrů na drsnost povrchu a přesnost tvaru i rozměrů. Řezné podmínky se mění se způsobem broušení. Drsnost povrchu a přesnost broušení příznivě ovlivňuje obvodová rychlosť kotouče v_k . Nepříznivý vliv posuv s a přísuv kotouče t .

V katalogu broušicích nástrojů z roku 1989 jsou pro re-

vinné broušení obvodem brousícího koteče doporučeny tyto
řezné podmínky : obvodová rychlosť koteče $v_k = 25$ až 32 m.s^{-1}
posuvová rychlosť $v_o = 10$ až 18 m.mi^{-1}
příčný posuv 1/2-4/5 šířky koteče

2.1.6. POUŽITÍ ŘEZNÝCH KAPALIN V PROCESU BROUŠENÍ /5/

Kapaliny, které při obrábění kovů zajišťují správné a ekonomické výrobní postupy, nazýváme řeznými kapalinami.

Hlavním úkolem řezných kapalin je umožnit obrábět při největší hospodárnosti. To znamená především zajistit trvanlivost nástrojů a jakost obráběného povrchu při malé spotřebě energie, na což má vliv chladící, mazací a čisticí účinek použité kapaliny. Tyto účinky jsou tedy základními, nezbytnými vlastnostmi řezných kapalin.

Z hlediska technologického a provozního můžeme sestavit požadavky na řezné kapaliny takto :

1. chladící účinek
2. mazací účinek
3. čisticí účinek
4. provozní stálost
5. ochranný účinek
6. zdravotní nezávadnost
7. nízké náklady

Základní funkce řezných kapalin při obrábění se projevuje v jejich chladícím a mazacím účinku.

Chladící účinek řezných kapalin je nejvíce patrný při chlazení vhodnými reztky nebo emulzemi. Řezná kapalina snižuje teplotu obrobku, nástroje i třísky tím, že odvádí teplo z řezné oblasti.

Schopnost řezné kapaliny odvést určité množství tepla z oblasti řezání je však dána nejen jejími termodynamickými vlastnostmi, ale i fyzikálně chemickým účinkem kapaliny na obráběný materiál, jakož i provozními podmínkami.

Zvětšení chladícího účinku lze dosáhnout také zvýšením tlaku kapaliny přiváděné do místa řezu. Mazací účinek přispívá především ke zmenšení tření na čele i na hřbetě nástroje.

Povrchově aktivní látky v řezné kapalině, které jsou přiváděny do místa řezu, vytvářejí na obrobku i nástroji mezní vrstvu; tato vrstva představuje přechodové pásme mezi tělesem a atmosférou. Tato vrstva se svou pevností podstatně liší od okolního prostředí. Tloušťka vrstvy je určována tloušťkou několika vrstev molekul povrchově aktivních látek. Tato vlastnost se nazývá adsorpce a látky přitázené k povrchu tělesa se nazývají adsorbované, aktivní nebo povrchově aktivní.

Vlastní adsorpce pak probíhá takto : Molekuly aktivních látek, vyznačující se příbuzností ke kovu, přimykají se pevně k němu. Tato vrstva pak představuje základ, na kterém se uchytí i molekuly neaktivních látek. Neaktivní část nad adsorpční vrstvou vytváří pohyblivou vrstvičku, která zmenšuje tření.

Při broušení je teplota v místě styku nástroje s obrobkem velmi vyšeká, proto musí mít řezná kapalina dobrý chladící účinek. Z téhoto hlediska je možné rozdělit všechny operace broušení do dvou skupin, a to podle toho, zda jde o dодержání vyšeké jakosti povrchu nebo značné objemové rozptýlení tepla.

Typickou operací, patřící do první skupiny, je broušení

závitů, při níž se používá řezného oleje. Oleje působí mnohem lépe spolu s jemnou strukturou brousícího kotouče a zabraňují jeho poruše.

Operace patřící do druhé skupiny jsou válcové a bezhrétkové broušení a broušení ploch. Při těchto pracích jsou výhodné při chlazení emulze nebo vedené rezety. dnes jsou pro broušení požadovány kapaliny průhledné - transparentní - aby pracovníkovi dovolovaly pozorovat obrysy součásti i brousícího kotouče, což je důležité hlavně při najízdění kotouče k obrobku. Tomuto požadavku vyhovuje Akvel o 2% koncentraci.

Doporučenou řeznou kapalinou pro broušení antikorozivních ocelí je emulze o 2% koncentraci. Množství řezné kapaliny pro broušení se volí okolo $30 \text{ l} \cdot \text{min}^{-1}$.

2.2. CHARAKTERISTIKA PROCESU LEŠTĚNÍ A JEHO ROZDĚLENÍ

/1/

Leštění je dokončovací operace opracování povrchu, kterou se odstraní dřebné nerevnosti, docílí se zrcadlový lesk a vysoká jakost povrchu.

Podle způsobu práce rozdělujeme leštění na :

- a) mechanické leštění
- b) chemické leštění
- c) elektrochemické leštění
- d) leštění retujícími kartáči
- e) pásové leštění

2.2.1. MECHANICKÉ LEŠTĚNÍ

Způsob leštění, při kterém leštíme tvrdými brusnými materiály upevněnými na nějakém nositeli nebo opracováváme povrch volnými materiály vrhanými určitým směrem. Při tomto leštění se dosahuje až zrcadlový lesk.

Leštění koteučí je nejrozšířenější způsob tohoto druhu obrábění, které se provádí buď ručně nebo strojně. Při leštění součást tlakem přitlačujeme na obvod rychle se otáčejícího koteuče, na kterém je nanesen leštící materiál. (brusný prášek nebo pasta)

Rozdělení leštících koteučů :

- lisované bavlněné koteuče
- skládané sešivané látkové koteuče
- široké, z elementů slezené látkové koteuče
- lístkové látkové koteuče
- plstěné koteuče
- koteuče na bázi celulózy anebo dřeviny
- kevové koteuče s nanesenou leštící vrstvou
- ohybné koteuče na bázi kaučuku

Při leštění musíme nasítit povrch koteuče leštícím materiálem a to se provádí :

- a) nanesením brusných zrn na vhodný podklad
- b) namazáním brusnou glejovou vrstvou (směsi)
- c) přimisením brusných zrn do základní masy (kaučuku, celulózy, dřeviny)
- d) namazáním tukovými leštícími pastami
- e) poléváním počas leštění brusnými suspenzemi

Nejhodnější je nanesení brusných zrn do glejové vrstvy nebo namazání brusnou glejovou směsí. Koteuče se při tomto

způsobu nejprve několikrát namaží glejovým reztem. Po každém namazání se koteuč vysuší. Pak se nanáší glejová vrstva jako směs s brusným zrnem. Zahřáté na teplotu 40 až 50 °C. Koteuče namazané brusnou glejovou směsí se připravují lehce, musí pracovat při nižších řezných rychlostech. Dávají kvalitní povrch, mají nižší životnost. V nanesené brusné pastě se používá obyčejně prášek umělého korundu a karbidu křemíku se zrnitostí 8, 6, 5, a 3. Tyto materiály se používají i v leštících pastách. Mimo jiné se používají v pastech i přírodní materiály minerálního původu (tripolit, anglická červená, křída) jako i chemické látky (oxid chromitý, vídeňské vápno, atd.). Pasty na leštění antikerezivních ocelí obsahují elektrokerund, oxid chromitý, kaolin, stearin, parafín, vazelína, kyselina olejinevá apod.

Optimální pracovní rychlosti koteučů závisí od leštěných materiálů a typu koteuče. Koteuče s vrstvou kožního gleje by měly pracovat rychlostí 25 až 40 m.s⁻¹. Při leštění součásti složitého tvaru musíme volit rychlosť přiměřeně nižší. Nižší obvykové rychlosti volíme i při leštění měkkých materiálů (Al, Cu, ...) Při nižších obvykových rychlostech než je optimální se snižuje produktivita práce a prudce klesá trvanlivost koteuče.

K mechanickému leštění patří i leštění pásem a retužíci kartáči.

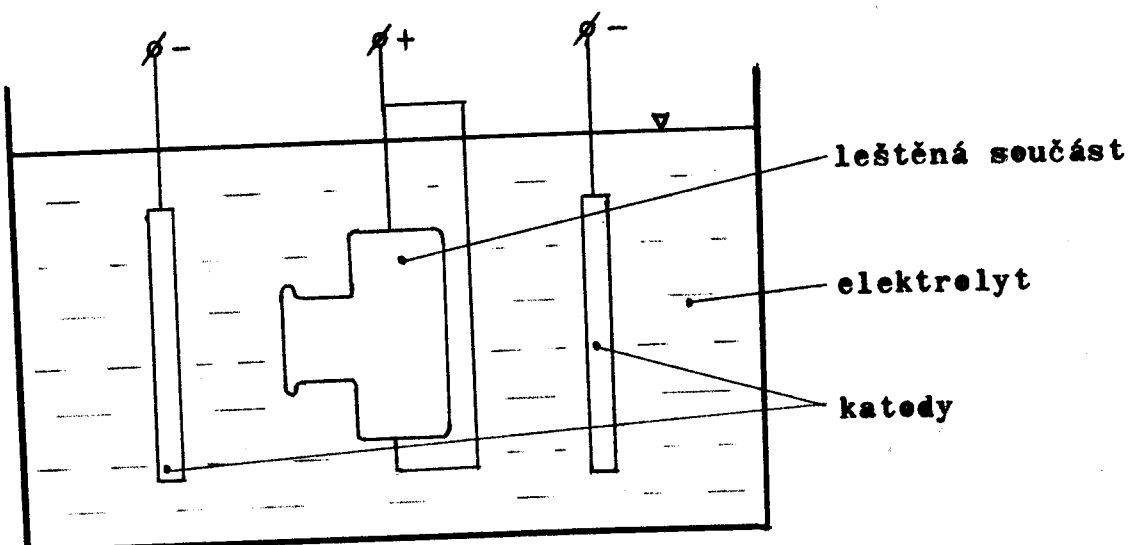
Při leštění retužíci kartáči jsou nástroje hodně podobné leštícím koteučům. Složené jsou z jednotlivých jemných vlaken, hustě zachycených v pevném jádře. Vyrábějí se z oceli, drátu, přírodních vlasů, bavlněné příze, rostlinného vlákna apod.

Jednotlivá vlákna vnikají do jamek mikreprofilu povrchu

a přitom vyrovávají mikronerovnosti a čistí i dna jamek. Snižuje se napětí a vznik trhlin na povrchu součásti. Zvyšuje se únavová pevnost materiálu. Zpravidla se používá ketoučů leštících obvodem.

V porovnání s leštěním kotouči je pásové leštění dekorativnější, výhodnější a produktivnější. Nekonečný leštící pás bývá z kuprenu, bavlněné nebo jiné tkaniny. Na vnější straně pásu je vrstva brusných prášků. Na upevnění brusných zrn na páse se používá živečišného gleje, vědní sklo, formaldehydové lepidlo a jiné.

2.2.2. ELEKTROCHEMICKÉ LEŠTĚNÍ



Obr. 2 Princip elektrochemického leštění

Při temto druhu leštění se dosahuje vysoká jakost povrchu.

Leštěná součást tvoří anodu penofeneu do elektrolytu. Záporný zdroj proudu je zapojen na katedu. Přechodem jednosměrného proudu se elektrochemicky rezpouští povrchové vrstvy

materiálu. Rozpuštění je nejintenzivnější na výstupcích mikronerovnosti. Povrch součásti se stává hladký a lesklý. Na proces má vliv vrstva anodických oxidů, která klade odpor průchodu proudu. Proto se provádí promíchávání elektrolytu.

Elektrolyty je možné rozdělit :

- elektrolyty s neohraničeným časem použití
- elektrolyty s ohrazeným časem použití

U první skupiny se soli rozpuštěné anody usazují v edkalovacím zařízení. Celý proces je téměř obdobný jako v galvanizovnách. Dosahuje drsnosti $R_a = 0,4$ až $0,2 \mu\text{m}$. Především se vhodně používá pro řezné nástroje. Leštění vrtáků, fréz, výstružníků, závitníků, apod.

Technologický proces tohoto způsobu leštění se skládá :

1. odmastění organickým rozpouštědlem (benzin, aceton)

2. připevnění nástroje na závěs

3. elektroodmastění

4. propláchnutí v teplé a chladné vodě

5. elektroleštění

6. propláchnutí v chladné tekoucí vodě

7. neutralizace v alkalickém roztoku

8. propláchnutí v chladné a teplé vodě

9. sušení

10. kontrola jakosti

11. konzervace

Použití pro složité součásti armatur (lopatky turbín).

2.2.3. CHEMICKÉ LEŠTĚNÍ

Kvalitní, hladké a lesklé povrchy desahujeme působením aktivních látok (chemických). Součást namáčíme do aktivního reztku.

Typevý technologický postup chemického leštění se skládá :

1. odmastení povrchu
2. oplachování v tekuuci chladné vodě
3. chemické leštění v příslušném reztku
4. oplachování v tekoucí chladné vodě
5. oplachování v teplé (60 až 90 °C) vodě
6. sušení

Počas leštění se složení reztku mění, protože se nasytuji solemi rozpustěného kovu a tím se snižuje jeho aktivita. Složení reztku se musí kontrolovat a korigovat. Přidávají se aktivní látky v určité dobu a při určité koncentraci se musí reztek vyměnit, protože se zhoršuje schopnost leštění.

Leštící reztek připravujeme tak, že do daného množství vody nalejeme tenkým prudem za stálého míchání vypočítané množství kyseliny sírové, po ochladnutí na 30 až 40 °C doplníme potřebné množství kyseliny chlorevedíkové a dusičné i s ostatními přisadami. Chemické leštění se používá hlavně jako vhodná a účinná povrchová úprava obrobků z oceli, neželezných kovů a slitin. Náklady jsou ovšem vyšeké. Použití pouze v hromadné výrobě. Výhoda je rychlosť a jednoduchosť.

2.3. ŘEŠENÍ BROUŠENÍ A LEŠTĚNÍ V PODMÍNKÁCH
ZVÚ HRADEC KRÁLOVÉ

2.3.1. MECHANICKÉ BROUŠENÍ VÝROBKŮ Z ANTIKOROZIVNÍCH
OCELÍ

Prevádí se buď a) strojně
b) ručně

ad a) Dedenávna až do roku 1985 se v převážné míře broušilo pásovými bruskami s evidentním nasazením brusných ketečů, a te hlavně keramických. Broušení se provádí s cílem odstranit hrubší vadu povrchu, které lze rozdělit do několika skupin :

1. Vady vzniklé už ve výrobě plechu i jiných poletovarů (v hutích). Jsou to například trhliny, závaly apod.
2. Vady vzniklé při manipulaci s plechy - deprava od výrobců nebo spotřebitele. Jsou to různé rýhy, vtlačené cizoredělátky (rez, písek) a dále v menší míře poškození povětrností a chemikáliemi. Drtivá většina těchto vad vzniká v důsledku nekázně, špatném stavu depravních prostředků, organizace depravy apod. Lze ovšem předpokládat, že v novém hospodářském mechanismu by mohlo v tomto směru dojít k zlepšení, neboť tato sféra zlepšení, kromě technického vybavení, není investičně náročná.
3. Vady vzniklé ve výrobě t. j. zpracování plechů. Jde opět o rýhy, vrypy, vtlačení cizoredělých látek, otisky kran nástrojů, deformace po svaření, nekvalitní povrch vlastních svarů i jejich skelí aj. Zde je též značné procento vad vzniklých technologickou nekázní, špatným skladováním, mezioperáční manipulací apod. Velké množství vad však vzniká zde

v důsledku zastaralé, nevhodné technologie tváření, svařování a mezioperáční manipulace.

K strojnímu breušení se používají téměř výhradně JES vlastní konstrukce a výroby. Jde o brusky řady BP. Pro breušení válcových částí nádob brusky BPP-17, BPP-27, BPP-35. Pro breušení den klenuté brusky BPD-14. V 70. letech byla snaha vytvořit pracoviště pro breušení plechů za rovna s vratným pohybem, ale tato zařízení se neosvědčilo a bylo zrušeno. Šlo o velmi produktivní zařízení, které mělo breusit plech v celé jeho šířce najednou retujícím širokým válcem. V prevezu bylo zařízení pro breušení plechů za rovna s několikanásobným vratným pohybem podobně jako např. pertálové frézky. Zařízení bylo stavebnicevého typu. Od breušení celých plechů za rovna se postupně v podstatě upustilo z důvodu:

- lepší dodávaná kvalita povrchu z hutí
- energetická náročnost
- poškození povrchu plechů při např. zkruževání a nutnost znevá breusit po zkružení nebo svaření

S úspěchem se používalo zařízení pro breušení za rovna menších tvarevých plechů - bruska B. Na breušení vnitřku kénických den se s úspěchem používá stavebnicevé zařízení s pásovou bruskou PK-3. Využívá se zde brusky BPP-27. Stále se pestrádá zařízení na odbrušení převýšení svarů nádob de reviny. Byly různé snahy, ale žádné ze zkoušených zařízení se příliš neosvědčilo. Problémy jsou zejména s breusicím nástrojem - přezávání pásů i ketoučů, rychlé opotřebení, podbruševání apod. Zařízení podobné jako mají některé zahraniční firmy - např. Hau Rakousko, Niederberger Švýcarsko, Fano - Blatter Švýcarsko a mnohé jiné se pestrádá. Jde vždy o zařízení s kmitavým pohybem brousícího nástroje,

využívající však též kvalitních nástrojů (zejména pásů).

V ZVÚ se vyvíjí nová bruska a leštička řada B-84 pro úpravy povrchů zejména malorezmerných nádob s ležitého tvaru. Jde o bezobslužné automatické kopírovací zařízení chráněné v současné době dvěma patenty. Uvažuje se s nasazením na výrobky do průměru cca 2m. Vyvíjí se elektrické přídavné zařízení na zabrašování svarů do reviny.

ad b) Ruční breušení se provádí stále ve velkém rozsahu.

Používá se ruční nářadí pneumatického nebo elektrického s vyšší frekvencí a bezpečným napětím. Jako nástroje se používají koteuče FLEX, keramické, plstěné s peletem a lamelevé. Ruční breušení se v převážné míře používá pro úpravu povrchů svarů a jejich okolí. Dále k odstranění různých místních vad například před elektrochemickým leštěním. Tento druhu breušení se také využívá k obrábění sležitých povrchů a drobných součástí.

2.3.2. MECHANICKÉ LEŠTĚNÍ VÝROBKŮ Z ANTIKOROZIVNÍCH OCELÍ

Provádí se v malé míře a to většinou ručně pomocí ručního nářadí, stejně jako u ručního breušení. Nástroje jsou textilní a plstěné koteuče a pasty. Leštění drobných výrobků na stacionárních bruskách a leštičkách v ruce. Do strojního leštění lze počítat do jisté míry breušení na BPP, kde se používá stupených nástrojů jemných lamelevých koteučů nebo se nástroje přimazávají olejem (brusnými pastami).

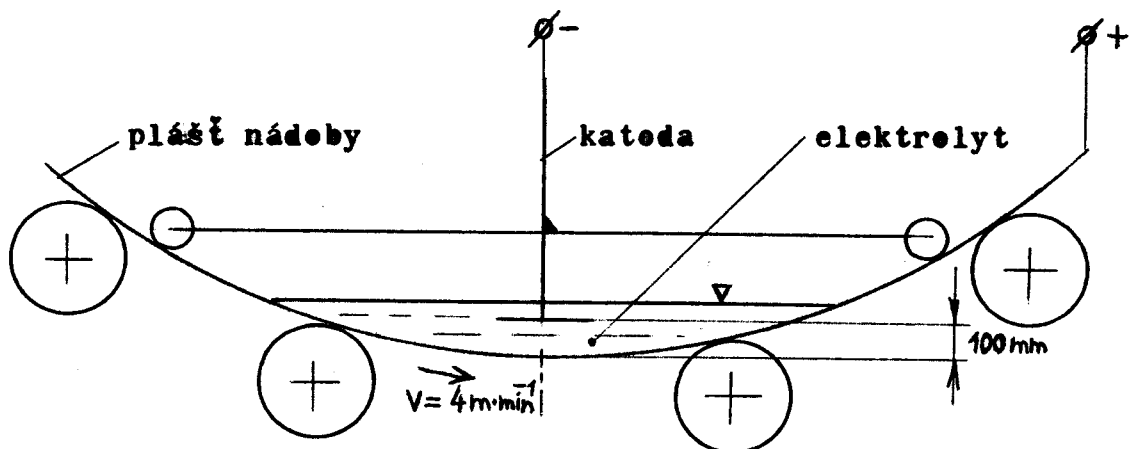
Bezebslužní leštění se začíná prevezvat zkušebně na výše popsaném breusícím a lešticím zařízení B-84. Zde se dosahuje kvality povrchu srovnatelným se zahramičím. Dosahuje se

zrcadlového povrchu bez step nástrojů. Lze leštít i těžko přístupné dutiny například o průměru 250 mm do hloubky až 1250 mm. Využívá se zařízení na vnitřky kolen potrubí apod. V posledních letech se přešlo na elektrochemické leštění.

2.3.3. ELEKTROCHEMICKÉ LEŠTĚNÍ NÁDOB Z ANTIKOROZIVNÍCH OCELÍ

Tímto druhem leštění se zde opracovávají převážně největší nádoby o leštící ploše 62 m^2 . Pravdou je, že se tento metodou v ZVÚ Hradec Králové obrábí obrobky prakticky nejrozměrnější na celém světě. Většina peznatků a postupů jsou převzaté od západoněmecké firmy Peligrat, která se elektrochemickým leštěním zabývá snad jako jediná v Evropě na vědecké bázi.

Nejprve se nádoby předeberou a pak se dle obr. 3 smáčí v elektrolytu, který se skládá především z kyseliny fosforečné, kyseliny sírové, vodících složek, jenž mají organický charakter.



Obr. 3 Schema elektrochemického leštění nádob

Elektrolyt má několikanásobné použití. Po ukončení operace se prevádí sedimentace kalu tzn. nechává se ustát až rezpuštěné sely obráběného materiálu klesnou ke dnu a čistý elektrolyt se odčerpá do sběrné nádoby. Elektrolyt se předehřívá na teplotu 45 °C. Při nižší teplotě by leštění probíhalo velice pomalu a při vyšší teplotě by docházelo k odpařování vody a tím by se zvyšovala hustota, která musí mít optimální hodnotu. Nedoporučuje se překračovat teplotu 60 °C.

Ve sběrné nádobě se starý už použitý elektrolyt mísi s elektrolytem novým tak, aby dosáhl správnou hustotu. Pak se ohřívá na stanovenou hodnotu teploty a tímto je připraven k upotrebení.

K tomuto způsobu leštění se používá stejnosměrný proud 8 až 10 A·dm⁻². Odebraná hlebka je přímo úměrná odebraným Amín (ampérminutám) vztažených na dm². 350 Amín·dm⁻² odpovídá asi odebrané hlebce 35 µm což je zhruba průměrný používaný úběr.

Elektrochemické leštění se v místních podmírkách používá pouze ve strojní podobě a je zde i částečně automatizováno. Obsluha pouze nastaví teplotu elektrolytu, proud v A·dm⁻² a rychlosť smáčení leštěné plechy. Po ukončení leštícího cyklu se vyprázdní elektrolyt a kontroluje se jakost povrchu na podle drsnosti Ra nýbrž dle ocejchovaných etalonů porovnávací metodu. Srovnává se tu stupň lesklosti. Povrch vyrobený touto metodou je velice kvalitní a je snadno omývatelný.

Z toho také vyplívá použitelnost na výrobky pro farmaceutický a petravinářský průmysl. Na závěr procesu se nádoba plachuje dekapací kapalineu 5 až 10% kyseline sírovou, která odstraní zbytky selt a organických látok ulpěných na obrobku. Dále se omývá vodou a konzervuje a tím je leště-

ní ukončeno.

Při leštění se vyvíjí vedík, který je nutno odsávat. Je to velice produktivní metoda výroby povrchů u takto rozměrných obrobků. Největší nádoba, která má průměr 3190 mm se vyleští asi cca za 8 hodin. Elektrochemické leštění je velice progresivní způsob výroby kvalitních povrchů a teprve čeká na své maximální využití.

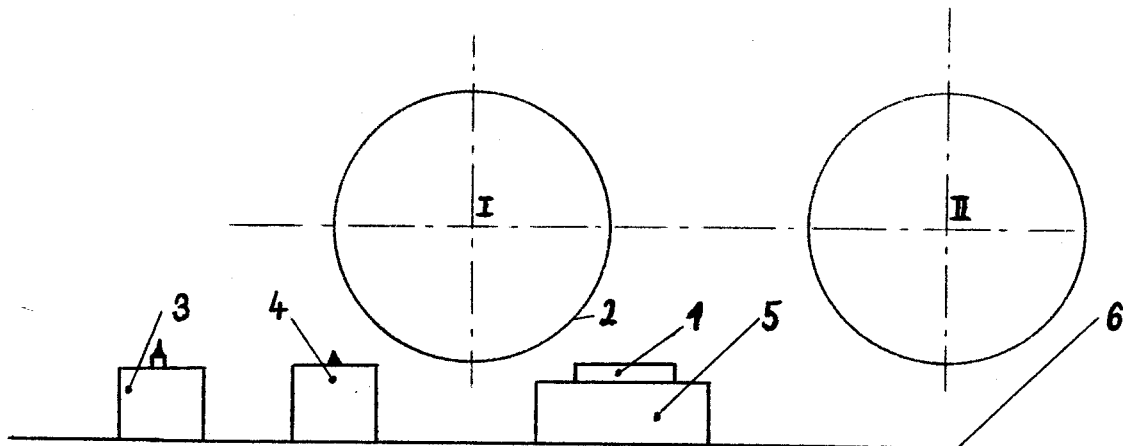
3. VЛИV RŮZNÝCH DRUHŮ BROUSÍCÍCH KOTOUČŮ NA STAV
POVRCHOVÉ VRSTVY PO BROUŠENÍ A LEŠTĚNÍ
ANTIKOROZIVNÍCH OCELÍ

3.1. OBECNÝ POSTUP ZPRACOVÁNÍ ÚKOLU

Cílem vlastního měření je posoudit seubar brousících koteučů a stanovené řezné podmínky při broušení antikorozivních ocelí. A te z hlediska jejich kvality obroběného povrchu, stavu povrchové vrstvy a poměrném úběru materiálu k úbytku brousících koteučů. Dalším cílem je zhodnotit měření povrchových hodnot po elektrochemickém leštění, které následovalo po mechanickém broušení. Výsledkem této práce je návrh technologie obou uvedených druhů obrábění ocelí třídy 17 pro podmínky ZVÚ Hradec králové.

Nejdříve byly vyrobeny vzorky z dále uvedených antikorozivních materiálů. Tyto vzorky byly na rovinné brusce v místech, které se použily na vlastní měření, přebroušeny a tím připraveny pro zahájení broušení vybranými koteuči a následné měření. Ještě než došlo k experimentálnímu obrábění byly vybrané brousící koteuče vyváženy a rovnány. Koteuč se upnul na vřeteno rovinné brusky. Zkušený materiál se upevnil pomocí střejního svéráku, který byl položen na magnetickém stole brousícího stroje. Z důvodu zarevnání plech a vyrovnání vúli se vzorek přebrousí s větším počtem výjiskření. Brousící koteuč byl opět rovnán. Dále se preměřily pomocí vhodných měřidel průměr brousícího koteuče a rozměry použitého vzorku (mikrometrem). Na brusce se nastavily zvolené řezné podmínky a použil se vybraný druh chlazení. Pak bylo provedeno vlastní broušení povrchu vzorků s celkovým úběrem

0,8 mm (vždy 4 povrchy po 0,2 mm), než se pomocí planžety ve formě žiletky stiskl profil breusícího keteuče. Opět se proměnily rozměry vzorku. Z rozdílu rozměrů byl určen objem odebraného materiálu breušením. Z stisknutého keteuče jeho obrus také v objemových jednotkách. Z těchto hodnot byl později vypočten pro každý keteuč, materiál a druh chlazení poměrný obrus.



- 1 - zkušební vzorek
- 2 - breusící keteuč
- 3 - planžeta
- 4 - jednokamenevý diamantový erovnávač
- 5 - strojní svérák
- 6 - magnetický stůl brusky
- I,II - krajní pracovní polohy

Obr. 4 Pohled na uspořádání pracovního stolu brusky

Takto popsáný průběh jednoho měření pokračoval v určování drsnosti povrchu Ra a Rm všech 4 breušených povrchů. Tyto hodnoty byly dalším kriteriem hodnocení procesu breušení. Na stejném zařízení pro určování drsnosti povrchu se

též prováděly jednotlivé planžety pro každé měření a z naměřených hodnot se vypočítával obrys brousícího keteče. Dalším kriteriem hodnocení bylo měření zbytkového prutí v povrchové vrstvě po broušení. Vždy u jednoho vzorku z každého měření byl zjištován gradient zbytkových prutí v povrchové vrstvě. Zařízení, popis měření a výpočet z naměřených hodnot je uvedeno v následujících kapitolách. Z těchto všech naměřených a vypočtených hodnot se určila nejvhodnější technologie broušení takových materiálů tzn. brousící keteč, druh chlazení pro každou ocel.

Po broušení následovalo elektrochemické leštění provozované na zařízení stávajícím v ZVÚ Hradec Králové. Provozovala se drsnost povrchu. Ekonomicky se toto leštění srovnávalo s leštěním mechanickým. Řezné podmínky se volily shodně s běžně používanými v tomto závodě tzn. velba leštícího elektrického proudu, použitého elektrolytu, teploty elektrolytu, rychlosti smáčení leštěné plochy.

3.2. EXPERIMENTÁLNÍ ČÁST - PROCES BROUŠENÍ

3.2.1. MATERIÁL, ROZMĚRY A VÝROBA VZORKŮ Z ANTIKOROZIVNÍCH OCELÍ

Byly použity tři materiály z antikorozivních ocelí třídy 17 běžně užívané v ZVÚ Hradec Králové pro výrobu zařízení petravinařského a farmaceutického průmyslu.

Jsem to tyto materiály :

17 246.4 austenitická korozivzdorná ocel jejíž odolnost se zvyšuje díky té úpravě povrchu. Byla ve stavu po rezpeuštění žihání.

Tvárnost : za tepla dobrá, za studena zpevnění

Svařitelnost : zaručená

Obrobitevnost : ztížená (nelze dosáhnout zrcadlový lesk)

$R_e = 206 \text{ MPa}$, $R_m = 539 \text{ MPa}$, $KCU\ 2 = 157 \text{ J} \cdot \text{cm}^2$

(KCU 2 - vrubová kouževnatest při 20°C ve starém značení)

Použití : na výrobky chemického a potravinářského průmyslu a jiné, tam kde po svaření není možné žíhat. V ZVÚ na nízkotlaké nádoby pro střední teplety, výměníky tepla (pláště, trubky,...)

17 248.4 austenitická kerezivzdorná elektroocel odolná především mezikrystalické korezi. Byla ve stavu po rezpoštěcím žíhání.

Tvárnost : za studena lepší než u 17 246

Svařitelnost : zaručená

Obrobitevnost : ztížená (lepší než u 17 246)

$\sigma_{02} = 205 \text{ MPa}$, $\sigma_{pt} = 500 \text{ až } 750 \text{ MPa}$

$R_{3\text{pedél.}} = 120 \text{ J} \cdot \text{cm}^2$, $R_{3\text{příč.}} = 80 \text{ J} \cdot \text{cm}^2$

(R_3 - vrubová kouževnatest v novém značení při podélném směru vláken tvářené oceli a při příčném)

Použití : na výrobky chemického zařízení včetně tlakových nádob. Ocel zvláště vhodná pro farmaceutický a potravinářský průmysl. (čistota produktu). V ZVÚ na fermentery.

17 348.4 austenitická kerezivzdorná elektroocel odolná především mezikrystalické korezi. Byla ve stavu po rezpoštěcím žíhání.

Tvárnost : pouze za tepla dobrá

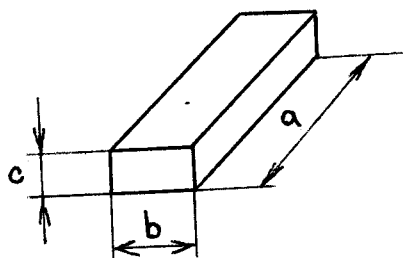
Svařitelnost : zaručená

$\tilde{\sigma}_{02} = 225 \text{ MPa}$, $\tilde{\sigma}_{pt} = 500 \text{ až } 750 \text{ MPa}$

$R_{3\text{pedél.}} = 120 \text{ J.cm}^{-2}$, $R_{3\text{příč.}} = 80 \text{ J.cm}^{-2}$

Použití : na výrobky chemického zařízení včetně tlakových nádob. Vhodná všude, kde je prestředí se silnými organickými kyselinami do středních teplot.
V ZVÍ na výměníky (vinuté trubky).

Všechny vzorky vyrobené z těchto materiálů byly ve stavu jak je výše předepsáno. Jednotlivé vzorky byly nařezány z peletovaru, válcevaného plechu a to 17 348.4 o tloušťce 10 mm a 17 246.4, 17 248.4 o tloušťce 6 mm. Proto se také liší rozměry vzorků u jednotlivých materiálů. Viz obr.5 a tab.1.



mat.	17 248.4	17 348.4	17 246.4
ozn.	1	2	3
a(mm)	38	56	48
b(mm)	6,4	8,5	6,0
c(mm)	9,8	10	10

Obr. 5 Vzorek a jeho rozměry

Tab. 1 Rozměry vzorků jednotlivých materiálů a jejich označení

Vzorky se oddělovaly od peletovaru řezáním na střejní pile. Dále se jejich povrch určený k měření přebrušoval. Všechny vzorky se označily číslováním dle tab.1. Bylo jich vyrobeno pro každý materiál celkem 30. Z těch 24 jich bylo použito k měření drsnosti povrchu a zbylých 6 k vyhodnocování stavu povrchové napjatosti.

3.2.2. POUŽITÝ PRACOVNÍ STROJ A VOLBA ŘEZNÝCH PODMÍNEK

Měření bylo provedeno na vodorovné revinné brusce BPH 20, určené pro breušení obvodem keteuče. Viz obr.6.

Technická data : (epsáno z katalogu stroje)

výrobce Povážské strojárne N. P. Povážská Bystrica

rok výroby : 1971

maximální průměr breusícího keteuče D = 250 mm

stroj vybaven magnetickou upínací deskou

příčný posuv stolu v rozsahu 0,5 až 6 mm

rychlosť podélného pohybu stolu 0 až 16 m.min⁻¹

otáčky vřetena 3600 a 2500 min⁻¹

příslušek keteuče ruční

celkový příkon stroje 4,6 kW

pohon pracovního stolu - hydraulický

rozměry upínací plechy stolu 200 x 630 mm

rozměry breusícího keteuče průměr 250 mm, šířka 20 mm,

vrtání 76 mm

V době měření nebylo na stroji shledáno žádných vážnějších závad, stroj byl v dobrém technickém stavu.

Z katalogu breusících nástrojů 1989/7/ byly vybrány tyto doporučené řezné podmínky pro výsece legevané oceli :

- obvodová rychlosť keteuče $v_k = 25$ až 32 m.s^{-1}

- posuvová rychlosť $v_e = 10$ až 18 m.min^{-1}

- hlebka řezu(záběru) $h = 0,01 \text{ mm}$

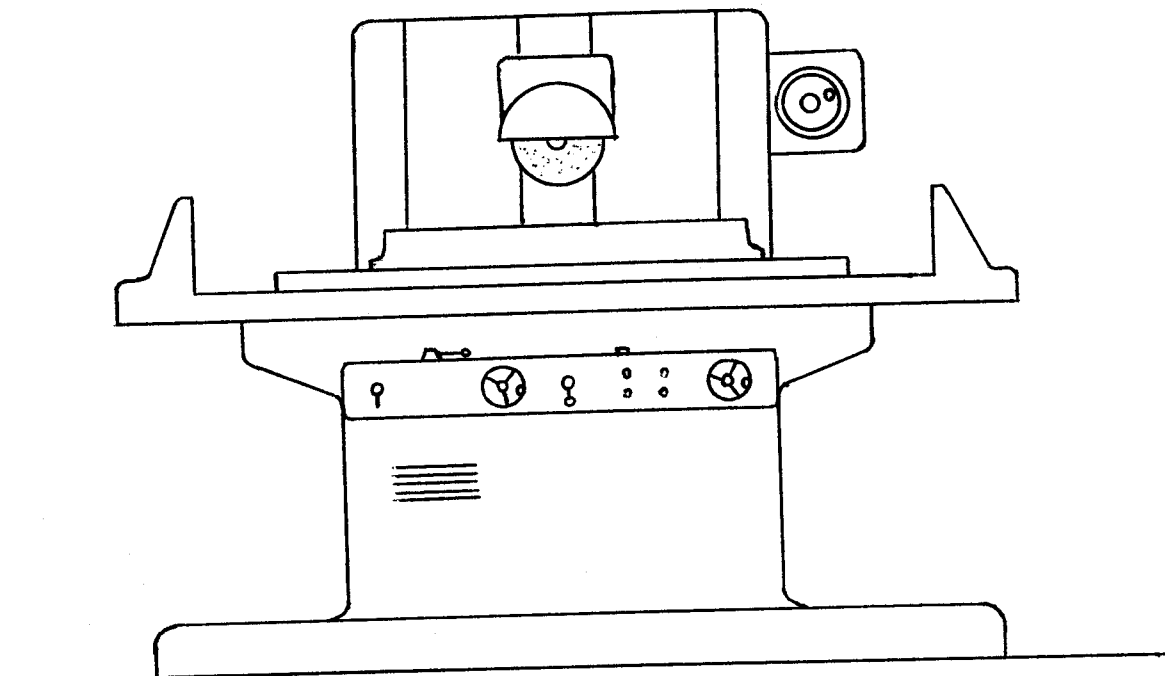
Z nichž se pro samotné měření a podle možnosti stroje nastavily tyto řezné podmínky :

$v_k = 31,7 \text{ m.s}^{-1}$ (závisí na průměru keteuče)

$v_e = 13,92 \text{ m.min}^{-1}$

$$h = 0,01 \text{ mm}$$

Příčný posuv nebyl používán, protože šířka koteuče byla větší než šířka vzerku. Obvodová rychlosť odpovídá otáčkám vřetene 2500 min^{-1} .



Obr. 6 Vodovzná revinná bruska BPH 20

3.2.3. POUŽITÉ BROUSÍCÍ KOTOUČE /7/

Pro měření byly vybrány čtyři brousicí koteuče s rezměrech 250 x 25 x 76 mm. Tři koteuče byly vyrobeny z umělého kerundu a jeden z karberunda.

Všechny čtyři koteuče byly vybrány z katalogem brousicích nástrojů pro všeobecně legevané materiály.

Byly zkoušeny tyto brousicí koteuče :

A 98T 25K 9V (šedý) označení - 1

A 99 25L 9V (bílý) ozn. - 2

C 49 25J 10V (zeleno-šedý) ozn. - 3

A 98 25K 9V (růžový) ozn. - 4

3.2.4. VYVAŽOVÁNÍ A OROVNÁVÁNÍ BROUSÍCÍCH KOTOUČU /2/

Vyvažování brousícího kotouče spočívá v uspořádání hmoty kotouče tak, aby se jeho těžiště shodovalo s jeho geometrickým středem. Nevyvážené síly se eliminují vyvážením kotouče a kotouč pracuje klidně i při vysokých obvodových rychlostech, což je nezbytné k dosažení vysoké přesnosti rozměrů a kvalitního povrchu a ke snížení opotřebení ležisek brousícího vretena.

Při malé šířce brousícího kotouče, kdy rotující hmoty jsou téměř v jedné rovině, což je náš případ, stačí jeho statické vyvažení. K tomuto účelu se použilo vederevného stojánku, kotoučové příruby a vyvaževacího trnu. Kotouč se upevnil pomocí šroubů do příruby, která se prostřednictvím kuželu a závitu spojila s vyvaževacím trnem. Trn i s kotoučem se vložil do vederevného stojánku a pomocí tří vyvaževacích závaží po obvodě příruby se staticky vyvážil. Tak aby v každé úhlové poloze nastavené se kotouč nezačal otáčet.

Zrna brousícího kotouče mohou dobře ubírat materiál jen tehdy, jsou-li ostrá a mají-li nezbytnou mezeru pro třísky. Během broušení se zrna otupí, mezery se zanesou, kotouč se uhladí. Někdy se též deformuje jeho povrch. Brousící kotouč pak páli, nemá možnost řezat. Orovnáváním se zanesený, zlepšený a otupený povrch brousícího kotouče opět zdrsní. V našem případě bylo pro orovnání použito jednokamenového diamantového orovnávače. Brousící kotouč byl orovnáván o 0,3 mm.

3.2.5. POUŽITÉ ŘEZNÉ KAPALINY /5,6/

Z kapitoly 2.1.6. vyplívá, že doporučenou řeznou kapalinou pro broušení antikorezivních ocelí je emulze s 2% koncentrací. Z hlediska dostupnosti (i cenové) a s doporučením /6/ byly zvoleny dvě řezné kapaliny :

1. emulgační olej Emulzin H s 2% koncentrací
2. emulgační olej Rebel s 5% koncentrací

Emulzin H vytváří s vodou vysokestabilní emulzi typu olej ve vodě. Má dobrou smáčivost, nenarušuje vrchní nátěry strojů ani pojiva brusných keteučů. Je to výrobek pohovnatelný s obdobnými výrobky popředních světových firem.

Rebel obsahuje VT přísady na bázi chlerevaného parafínu a sířené mastné látky v kombinaci zaměřené především na náročnější operace broušení. Provozní poznatky s Rebelem jsou až na výjimky příznivé, ale na závadu je obsah chlóru.

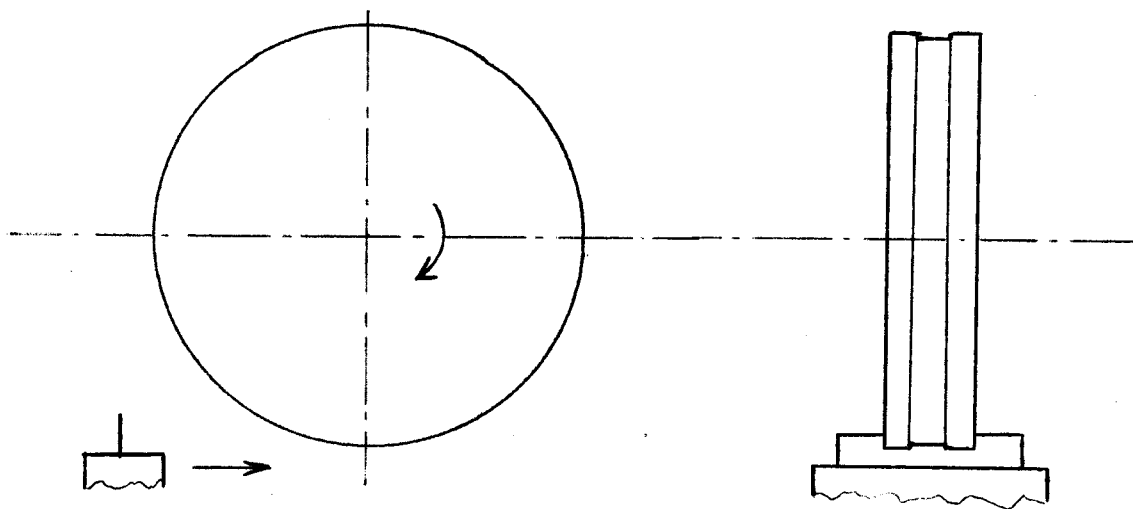
3.2.6. ZJIŠŤOVÁNÍ ÚBYTKU KOTOUČE, POUŽITÉ ZAŘÍZENÍ

Úbytek keteuče byl zjišťován pomocí planžety (žiletky), do které se otiskl jeho profil po skončení broušení vzerků pro jedno měření. Prakticky se tento profil do planžety vybrousil. Viz. obr. 7.

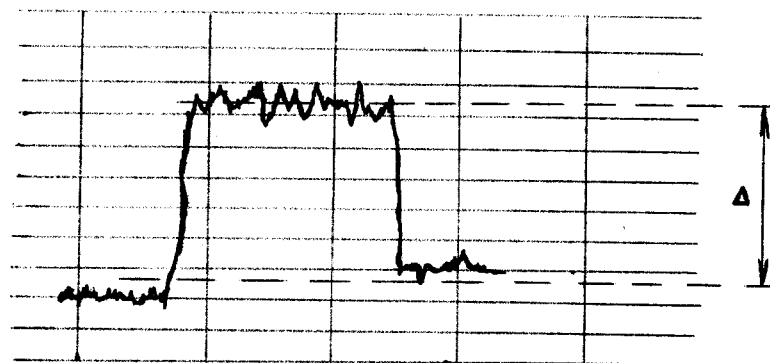
Tento způsob zjišťování úběru brousicího keteuče byl použit pro všechna měření, kterých bylo celkem 36. To znamená 12 pro každý materiál. Měnily se použité brousicí keteuče a řezné prostředí (za sucha, jedna kapalina, druhá kapalina). Dále se planžety preměřovaly a zjišťovala se kleubka opětřená brousicí keteuče. Jelikož šířka broušených vzerků by pro jedno měření byla vždy stejná, celkový úbytek keteuče se

vypočítal dle vzorce :

$$\text{ÚK} = \frac{\pi \cdot b}{4} \cdot (D^2 - (D - 2\Delta)^2) = \pi \cdot b \cdot (\Delta D - \Delta^2) \quad (3)$$



Obr. 7 Schema etisknutí brousícího keteče do planžety



Obr. 8 Diagram povrchu obroušené planžety

Hodnota Δ se zjišťovala z diagramu viz. obr. 8, kde rozdíl středních čar drsnosti epotřebované části keteče a neepotřebované dal právě hodnotu Δ .

Diagramy byly zhotoveny na přístroji pro měření drsnosti povrchu Hammel Tester T3 s použitým nežovým snímačem TFS 300/4 a měřené dráze 20 mm.

3.2.7. ZJIŠŤOVÁNÍ ÚBYTKU BROUŠENÉHO MATERIÁLU

Teoretická hleubka úběru materiálu vzerku byla nastavena na stroji a měla hodnotu $h_{ct} = 0,2$ mm a byla dosažena dílčími odebieranými hleubkami $h = 0,01$ mm. Skutečná hleubka úběru byla proměřována před a po skončení breušení pomocí mikrometru a označována $h_{cs} = c_0 - c_1$ (c_0 je výška vzerku před breušením a c_1 je výška vzerku po breušení).

Celkový úbytek breušeného materiálu byl potom :

$$\bar{U}_M = 4 \cdot h_{cs} \cdot b \cdot a \quad (\text{mm}^3) \quad (4)$$

Je to vlastně úbytek stanovený až po obroušení čtyřech povrchů - 2 vzerků, tzn. po provedení jednoho měření. Stejně jako u stanovení ÚK i \bar{U}_M byl určován pro všech 36 měření.

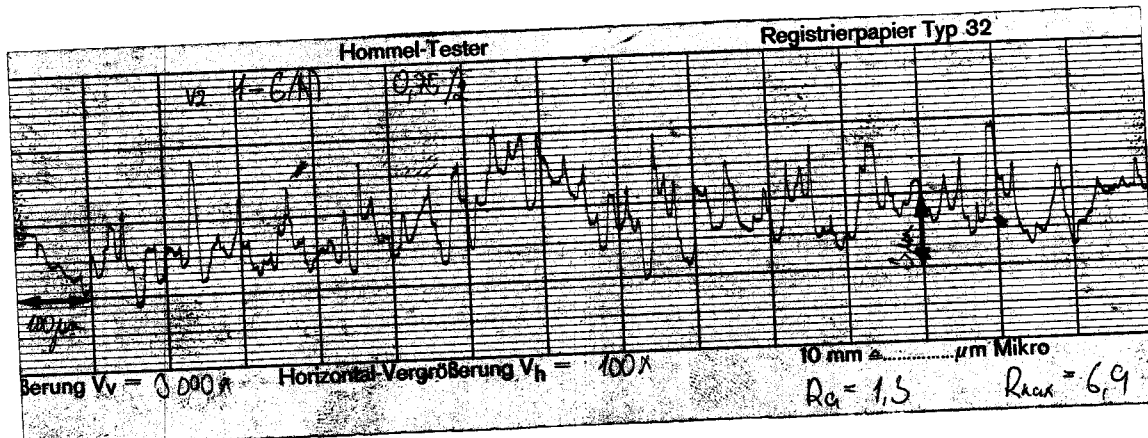
3.2.8. STANOVENÍ POMĚRNÉHO OBRUSU

Jedním z hodnoticích kriterií breusícího procesu je poměrný obrus. Ze vztahu (2) vidíme, že poměrný obrus je závislý na tom, kolik materiálu breusící keteč odebere a s jakým úbytkem. S rosteucí hodnotou poměrného obrusu roste i efek-

tivnost broušicího procesu.

3.2.9. MĚŘENÍ DRSNOSTI POVRCHU

Také drsnost povrchu je jedním z kriterií, hodnotící broušicí proces. Záleží však na tom, zda broušení bude procesem hrubovacím nebo dokončovacím. Měřila se příčná drsnost povrchu R_a a R_{max} pomocí drsnoměru Hommel Tester T3 metodu cutt off 0,75, snímačem TFE 100 po dráze 2 mm. R_a i R_{max} byla měřena na všech broušených plechách a vždy na jedné z nich u daného měření byl proveden grafický záznam, viz. obr. 9. a přílohy.



Obr. 9. Grafický záznam drsnosti povrchu broušeného materiálu

3.2.10. ZJIŠTĚNÍ PRUMĚRNÉ DRSNOSTI POVRCHU Z NÁHODNÉHO VÝBĚRU V TOLERANČNÍCH MEZÍCH /9/

Jseou-li známy výběrové charakteristiky \bar{x} a s^2 z náhodného výběru rezolučního rozsahu m je možné stanovit meze, které podíl P základního součtu zahrne se zvolenou výškou pravděpodobnosti. Oboustranné toleranční meze založené na výběrových

charakteristikách mají tvar $\bar{x} \pm k.s$, kde \bar{x} je výběrový průměr a s je směrodatná odchylka z náhodného výběru rozsahu n ; k je konstanta tabuleovaná v příloze v tab. 8 (ČSN 01 02 50) v závislosti na n , P .

$$\text{výběrový průměr } \bar{x} = \frac{1}{n} \sum_{i=1}^n x_i \quad (5)$$

výběrový rozptyl statistického souboru

$$s^2 = \frac{1}{n-1} \sum_{i=1}^n (x_i - \bar{x})^2 \quad (6)$$

směrodatná odchylka statistického souboru

$$s = +\sqrt{s^2} \quad (7)$$

Příklad měření č. 1

Zjištění drsnosti povrchu z náhodného výběru rozsahu $n = 4$ hodnot R_a . Byl vypočten výběrový průměr $\bar{x} = 1,11$ a směrodatná odchylka $s = 0,335$. V jakém pásu se bude pohybovat 75% hodnot R_a , a to se 75% pravděpodobností.

$$k (n=4; \gamma = 0,75; P=0,75) = 2,035 \quad \text{viz. tab. ČSN 010250}$$

Obestranné toleranční meze jsou :

$$\bar{x} \pm k.s = 1,11 \pm 2,035 \cdot 0,335 = 1,11 \pm 0,68$$

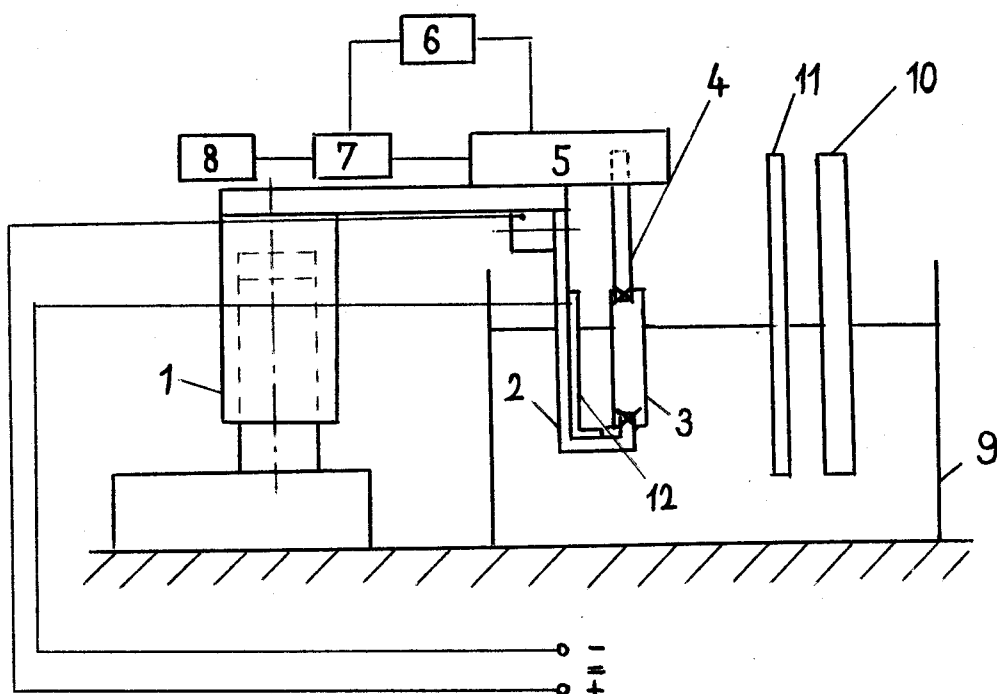
Lze tedy předpokládat, že s pravděpodobností 0,75% bude 75% hodnot drsnosti povrchu ležet v mezích $(0,43; 1,79)$.

3.2.11. URČENÍ ZBYTKOVÝCH PNUTÍ V POVRCHOVÉ VRSTVĚ

MATERIÁLU VZORKU /4/

Pro určení zbytkových pnutí v povrchové vrstvě broušených vzorků byla použita metoda elektrolytického rezponzitní.

Uvedená metoda je specifická v průběžném sledování deformací vzorku, jež vzniknou odleptáním určité vrstvy a tím uvolnění pnutí v této vrstvě odsazené. Proces leptání byl urychlován a zároveň stabilizován stejnosměrným proudem.



Obr. 10. Schema měřicího zařízení

- 1 stojan
- 2 upínací třmen
- 3 zkušební vzorek
- 4 měřicí třmen

- 5 indukční snímače
- 6 napájecí obvody
- 7 obvod pro elektrické nastavení polohy snímače
- 8 registrační přístroj
- 9 nádoba s elektrolytem
- 10 tepné těleso s termestatem
- 11 tlakový vzduch k promíchávání elektrolytu
- 12 kateda

Výpočet zbytkových pnutí :

Základem výpočtu byl předpoklad, že ve vrstvičce tloušťky H je zbytkové pnutí = konstantní. Pnutí se vypočítává z naměřených hodnot deformace v postupných vrstvách od povrchu vzerku, pro které platí obecný vztah :

$$\tilde{\sigma}_n = \frac{\Delta y_n}{\Delta H_n} \cdot K \cdot h_n^2 - \sum_{k=1}^{n-1} \tilde{\sigma}_k \cdot \frac{4 \cdot \Delta H_k}{h_k} \quad (8)$$

$\tilde{\sigma}_n$ -je zbytkové pnutí ve vrstvě n

h_n -je tloušťka vzerku po odstranění vrstvy n

$$h_n = h - \sum_1^n \Delta H$$

h - je výchozí tloušťka vzerku

Δy_n -je deformace vzniklá odleptáním vrstvy n

ΔH_n -je tloušťka n-té odebrané vrstvy (obvykle konstantní)

$$K = \frac{E}{3L \cdot (1+2a)} \quad (9)$$

E-je modul pružnosti

L-je délka leptané plochy

a-je vzdálenost konce leptané plochy od roviny snímání

deformace

Podle vztahu (8) byly vypočítány jednotlivé napětí pro každé měření zvlášť a v různých vrstvách s tloušťce nejčastěji 0,01 mm. Většinou byla maximální tloušťka měření napětí 0,1 mm. Výpočty těchto pnutí byly zhodoveny na počítači PMD-85 i s vykreslením průběhu napětí viz. přílohy.

3.2.12. NAMĚŘENÉ A VYPOČTENÉ HODNOTY

Naměřené a vypočítané hodnoty jsou uvedeny v následujících tabulkách (2 až 4). Drsnost R_a a R_m se měřila na čtyřech povrchách a v tabulkách jsou vypočítané hodnoty (aritmetický průměr) s tolerančními mezemi. Pěmerný obrys byl vypočítán ze vztahu (2). Napětí v povrchové vrstvě je uvedeno pouze maximální tahové $\max t$ a maximální tlakové $\max d$.

Pro větší názornost a snadnější vyhodnocování výsledků byly hodnoty drsnosti povrchu, pěmerného obrazu a napětí v povrchové vrstvě vneseny do grafů v závislosti na druhu broušicího koteuče a způsobu chlazení pro každý materiál zvlášť. (viz. obr. 11 až 13)

Tab. 2 Naměřené a vypočítané hodnoty po breušení pro materiál 17 248.4 označení - 1

Č. měř.	Způsob chlazení	Označení BK	$R_a (\mu\text{m})$	$R_m (\mu\text{m})$	P0	Nap. v pov. vrstvě (MPa)
					$\int_{\max t}$	$\int_{\max d}$
1	za sucha ozn.	A 98T 25K 9V označ. - 1	1,11±0,68	7,175±2,99	5,12	168,51
2	Emulzin H oz.	B 1	0,875±0,316	5,225±2,328	6,32	—
3	Rebel označ.	C 1	0,77±0,17	4,675±1,875	4,34	86,77
4	A	A 99 25L 9V označ. - 2	1,147±0,392	7,175±2,676	3,45	145,66
5	B	2	1,163±0,304	6,85±1,82	6,59	163,18
6	C	2	0,65±0,248	3,475±1,588	3,70	483,71
7	A	C49 25J 10V označ. - 3	0,727±0,266	3,975±1,746	2,78	111,63
8	B	3	0,973±0,51	5,675±3,092	4,22	94,64
9	C	3	0,54±0,119	3,175±3,043	3,15	97,88
10	A	A 98 25K 9V označ. - 4	1,795±0,647	9,8±4,2	1,46	190,7
11	B	4	1,773±0,276	10,375±3,46	2,33	1114,36
12	C	4	0,79±0,222	5,325±2,645	1,86	1771,44
						-541,99

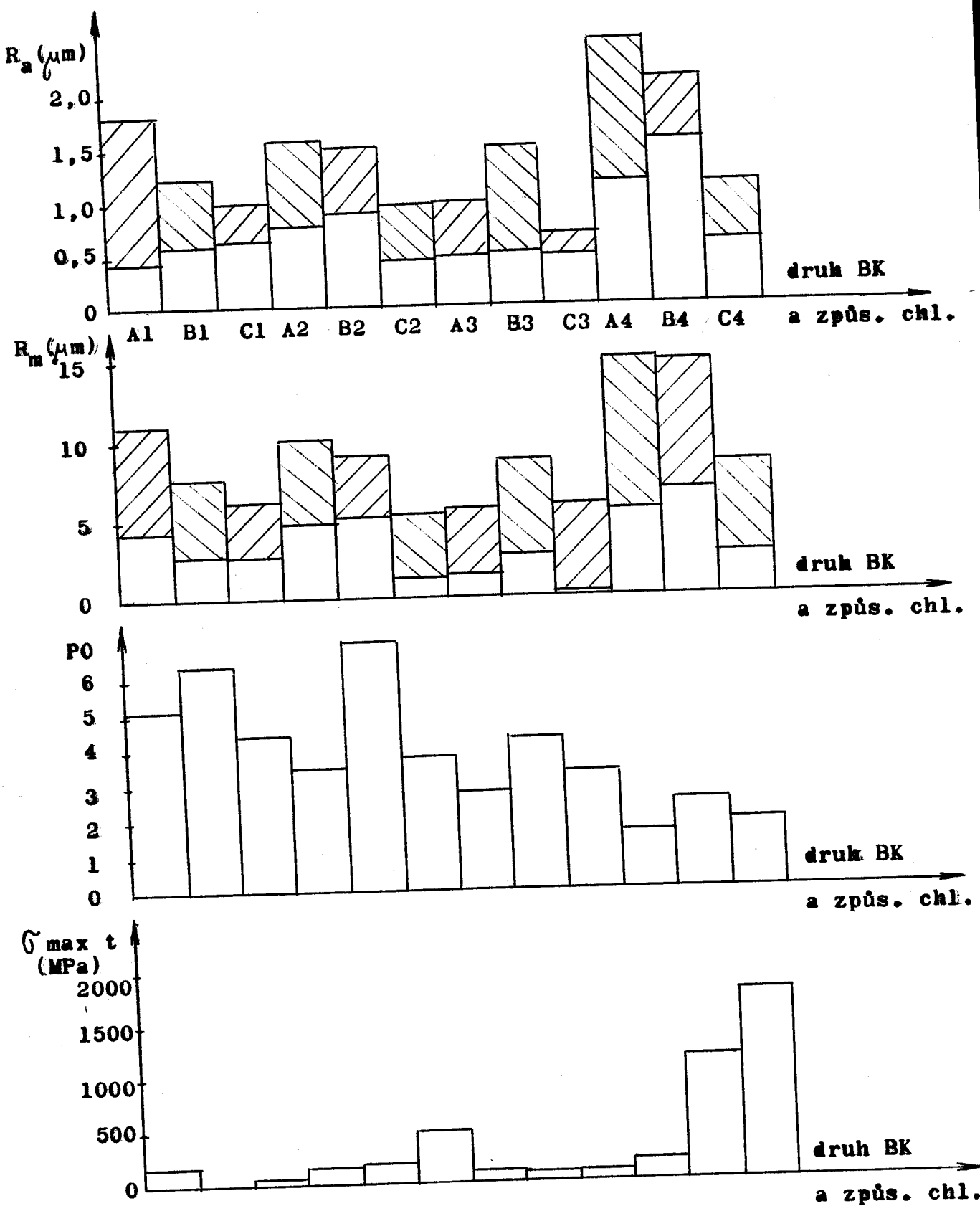
Tab. 3 Naměřené a vypočítané hodnoty po breušení pro materiál 17 348.4 označení - 2

Č. měř.	Způsob chlazení	Označení BK	$R_a (\mu\text{m})$	$R_m (\mu\text{m})$	P0	Nap. v pov. vrstvě (MPa)	
						σ_{max}	$\sigma_{\text{max d}}$
13	A	1	1,285±0,406	8,25±2,12	9,43	794,34	-3913,6
14	B	1	0,923±0,294	5,725±1,423	7,04	324,79	-6626,9
15	C	1	0,73±0,093	3,85±0,887	4,63	476,52	-5832,3
16	A	2	1,378±0,414	8,7±2,344	9,32	222,8	-4117,69
17	B	2	1,135±0,29	6,8±2,147	8,53	2716,54	-575,09
18	C	2	0,748±0,149	4,2±2,379	7,36	412,12	-5990,04
19	A	3	0,97±0,557	4,95±3,048	3,16	374,82	-4396,25
20	B	3	0,93±0,277	4,875±1,697	5,37	1139,81	-4376,59
21	C	3	0,628±0,112	3,7±3,252	7,63	724,19	-2539,26
22	A	4	2,03±0,774	12,375±4,87	4,52	—	-2037,55
23	B	4	1,505±0,829	9,075±4,811	2,88	973,58	-3766,32
24	C	4	0,965±0,19	5,775±1,714	8,13	2122,96	-9607,31

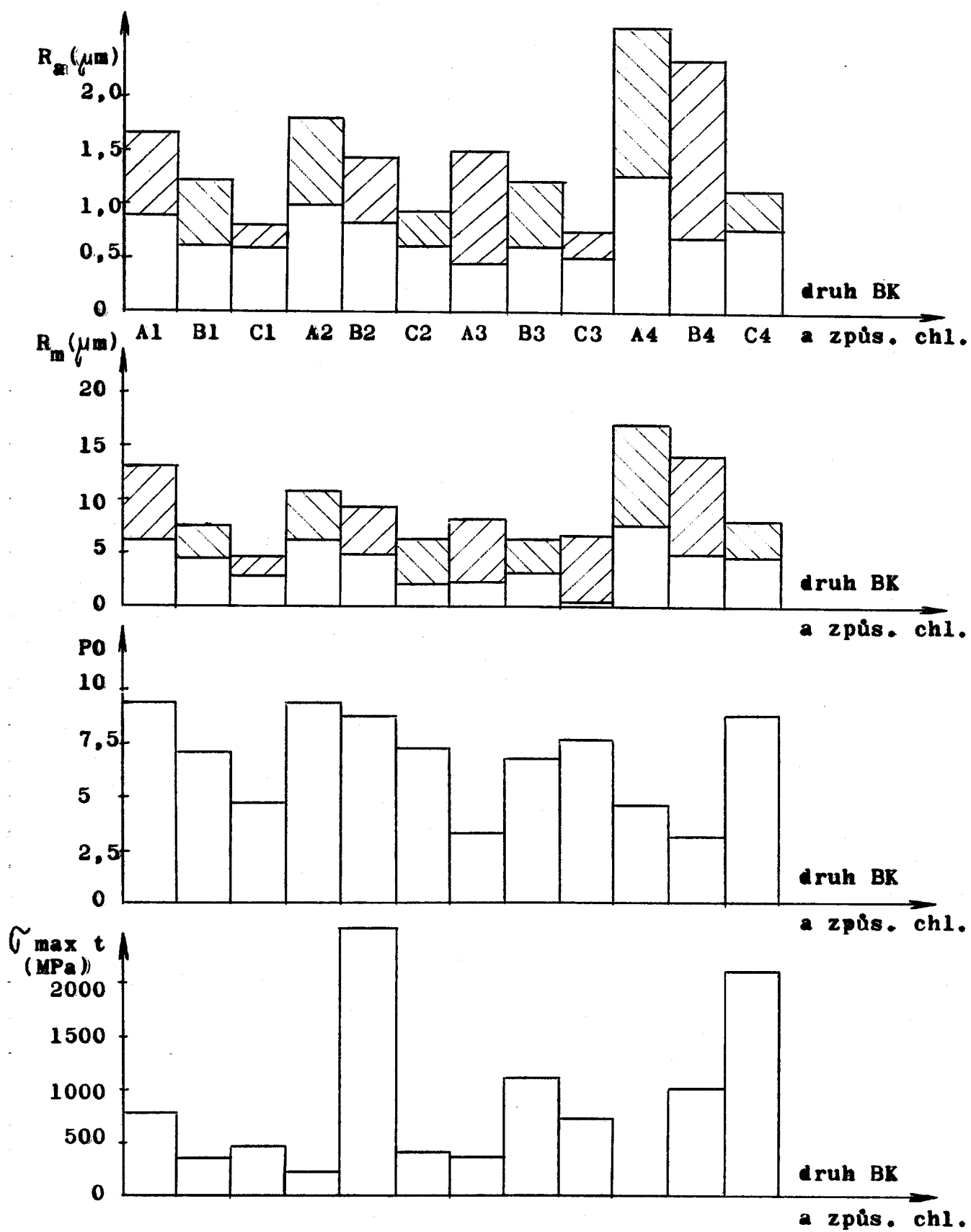
Tab. 4 Naměřené a vypočítané hodnoty po broušení pro materiál 17 246.4 označení - 3

Č. měř.	Způsob chlazení	Označení BK	$R_a (\mu\text{m})$	$R_m (\mu\text{m})$	P0	Nap. v pov. vrstvě (MPa)	
						σ_{\max}	
25	A	1	$1,095 \pm 0,51$	$6,875 \pm 2,865$	8,52	934,45	-3167,88
		1	$1,115 \pm 0,061$	$7,0 \pm 2,055$	6,37	865,28	-732,66
26	B	1	$0,995 \pm 0,66$	$5,475 \pm 2,399$	5,82	906,28	-995,16
		1	$1,203 \pm 0,739$	$7,588 \pm 5,502$	6,07	323,74	-785,87
27	C	2	$1,033 \pm 0,058$	$6,425 \pm 1,002$	6,87	308,69	-2841,43
		2	$0,758 \pm 0,225$	$4,45 \pm 2,587$	4,28	362,89	-8040,55
28	A	2	$0,753 \pm 0,283$	$4,125 \pm 2,686$	3,13	263,28	-1069,9
		2	$0,89 \pm 0,283$	$4,525 \pm 0,712$	4,02	649,02	-990,03
29	B	3	$0,618 \pm 0,093$	$3,125 \pm 1,107$	8,82	257,81	-1322,32
		3	$1,87 \pm 0,867$	$12,15 \pm 5,653$	2,81	1058,41	-3224,79
30	C	3	$1,338 \pm 0,153$	$8,225 \pm 2,702$	2,22	202,78	-4931,12
		4	$1,078 \pm 0,194$	$3,775 \pm 1,443$	3,79	51,47	-3698,27
31	A	4	$1,338 \pm 0,153$	$8,225 \pm 2,702$	2,22	202,78	-4931,12
		4	$0,718 \pm 0,194$	$3,775 \pm 1,443$	3,79	51,47	-3698,27
32	B	3	$0,618 \pm 0,093$	$3,125 \pm 1,107$	8,82	257,81	-1322,32
		3	$1,87 \pm 0,867$	$12,15 \pm 5,653$	2,81	1058,41	-3224,79
33	C	4	$1,338 \pm 0,153$	$8,225 \pm 2,702$	2,22	202,78	-4931,12
		4	$1,078 \pm 0,194$	$3,775 \pm 1,443$	3,79	51,47	-3698,27
34	A	4	$1,338 \pm 0,153$	$8,225 \pm 2,702$	2,22	202,78	-4931,12
		4	$0,718 \pm 0,194$	$3,775 \pm 1,443$	3,79	51,47	-3698,27
35	B	4	$1,338 \pm 0,153$	$8,225 \pm 2,702$	2,22	202,78	-4931,12
		4	$0,718 \pm 0,194$	$3,775 \pm 1,443$	3,79	51,47	-3698,27
36	C	4	$1,338 \pm 0,153$	$8,225 \pm 2,702$	2,22	202,78	-4931,12
		4	$0,718 \pm 0,194$	$3,775 \pm 1,443$	3,79	51,47	-3698,27

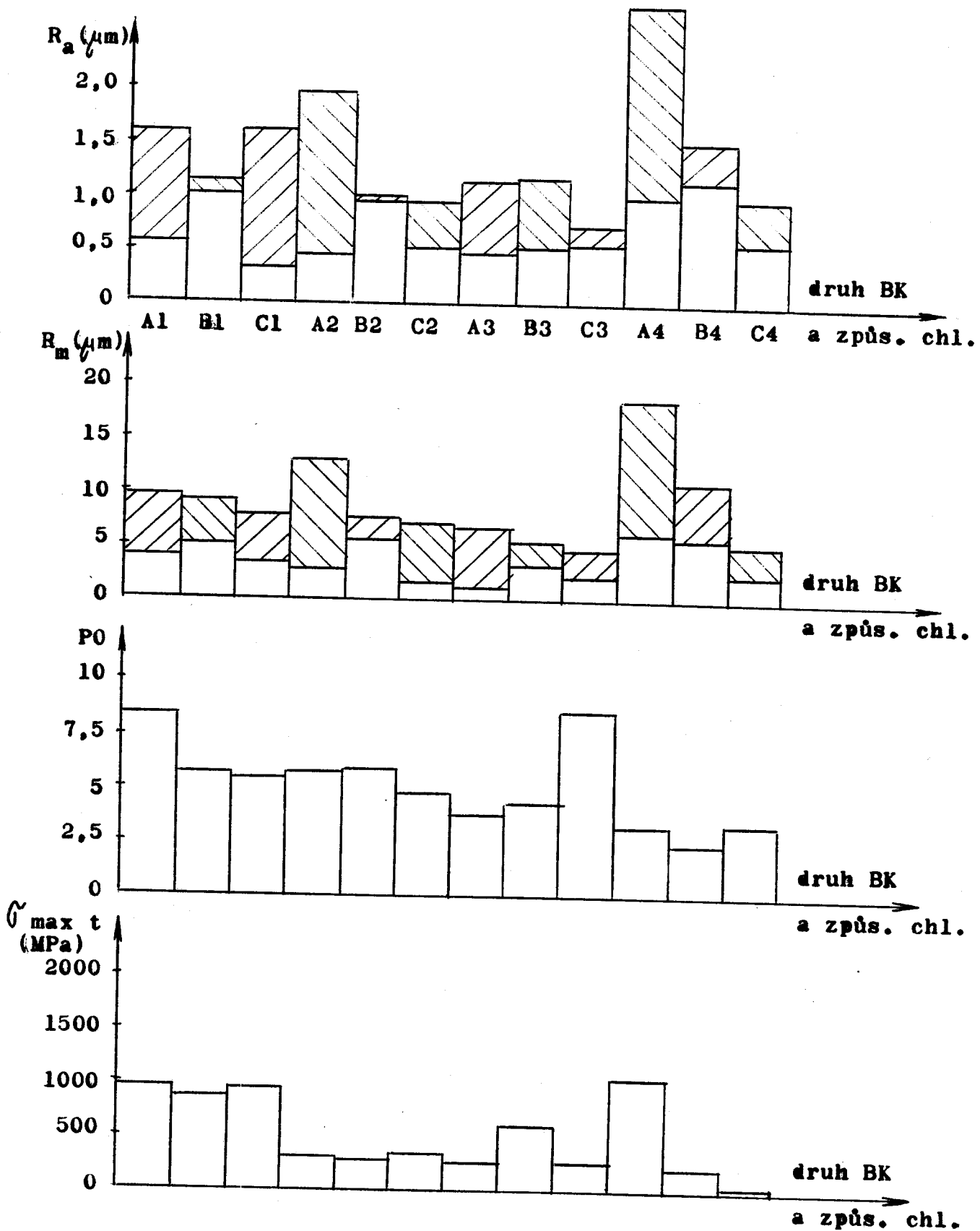
Obr. 11 Grafy závislosti R_a , R_m , P_0 a $\sigma_{max\ t}$ na druhu
brusícího kotouče a způsobu chlazení pro mate-
riál 17 248.4 - 1



Obr. 12 Grafy závislosti R_a , R_m , P_0 a $\tilde{\sigma}_{\max t}$ na druhu
breusícího keteuče a způsobu chlazení pro mate-
riál 17 348.4 - 2



Obr. 13 Grafy závislosti R_a , R_m , P_0 a $\sigma_{max,t}$ na druhu
breusícího ketouče a způsobu chlazení pro mate-
riál 17 246.4 - 3



3.3.

EXPERIMENTÁLNÍ ČÁST - PROCES ELEKTROCHEMICKÉHO LEŠTĚNÍ

3.3.1. POUŽITÉ VZORKY

Jako vzorků pro elektrochemické leštění bylo použito několik drobných součástí o maximální leštící ploše 50 dm^2 a maximální hmotnosti 15 kg. Byly to nádoby o maximálním průměru 300 mm, šrouby, trubky a podobné drobné součásti. Při tomto způsobu úpravy povrchů byly opracovávány jak vnější tak vnitřní plechy součástí. Na jednotlivé vzorky se použily materiály 17 248, 17 348, 17 246, jejichž vlastnosti a charakteristika byly popsány v kapitole 3.2.1. .

3.3.2. LEŠTÍCÍ ZAŘÍZENÍ A PODMÍNKY LEŠTĚNÍ

Zařízení pro elektrochemické leštění bylo zhotovené v ZVÚ Hradec Králové (realizace ZN 208/88). Elektrolyt byl používán původní (ZN 715/86).

Základní vybavení leštícího zařízení :

- nádoba z polypropylenu o obsahu 4000 dm^3 s předehřevem elektrolytu (šířka 600 mm, délka 800 mm, výška 1000 mm)
 - dva elektrické stejnosměrné usměrňovače (150 A)
 - kompletní kateda včetně katedového a anodového připojení
- Výběr základních parametrů pro elektrochemické obrábění : (optimální byly vybrány z návody pro el.ch. obrábění)
- a) Napětí $U = 5$ až 10 V - optimální
 - b) Průstřední hustota $i = 8 \text{ A} \cdot \text{dm}^{-2}$ - optimální
- Rezisah $i = 5$ až $15 \text{ A} \cdot \text{dm}^{-2}$

- c) Proudevá hednota I (A) - je vypočítána dle velikosti okamžité leštěné plochy (nebo součtu ploch) součástí nebo aparátů.

$$I = P \cdot i \quad (10)$$

i -je proudevá hustota ($A \cdot dm^{-2}$)

P -je leštěná plocha součástí (dm^2)

- d) Plošná hustota elektrického náboje K ($Amin \cdot dm^{-2}$)
- je rozhodující hednota, která určuje úběr materiálu a tím výslednou kvalitu leštěného povrchu.

$K = 350 Amin \cdot dm^{-2}$ - optimální upotřebitelná hednota

Plošná hustota el. náboje $K = 350 Amin \cdot dm^{-2}$ odpovídá odebierané hleubce cca 0,035 mm.

- e) Doba leštění T (min).

Celková doba leštění se stanoví ze vzorce :

$$T = \frac{P \cdot K}{I} \quad (11)$$

P -je celková plocha součástí - aparátu (vnitřní, vnější nebo jejich součet) (dm^2)

K -je plošná hustota el. náboje ($Amin \cdot dm^{-2}$)

I -je proudevá hustota (A)

- f) Vzdálenost elektrody od vnějšího povrchu $h = 100$ mm,
od vnitřního povrchu také $h = 100$ mm. (max. 160 mm)

- g) Maximální teplota elektrolytu : leštění vnějších ploch 60 °C, vnitřní plochy 50 °C.

V našem případě byly použity všechny uvedené optimální základní parametry.

3.3.3. PŘÍPRAVA A PROVÁDĚNÍ TECHNOLOGICKÉHO PROCESU ELEKTROCHEMICKÉHO OBRÁBĚNÍ

Příprava před el.chem. obráběním :

- Úprava svarů a okolí svarů broušením, měřením nebo tryskáním.
- Úprava funkčních plech broušením s ohledem na požadavek vyšší kvality leštěného povrchu.
- Proces el.chem. leštění probíhal peněřením součásti do elektrolytu a působením elektrického proudu. Všechny plechy musely být zbaveny nečistot a důkladně odmaštěny. Zbytky mastnet zvyšují pěnění elektrolytu a koncentraci plynů.

Pe této přípravě k el.chem. obrábění se součásti (vždy pouze jedna) zavěšovaly pomocí závěsů na anodu s následným připojením k anodě. Dále byl spuštěn usměrňovač, nastavila se proudrová hodnota I a zkontrolovalo se napětí U.

Ukončení el.chem. obrábění probíhalo :

- vypnutí zdroje stejnosměrného proudu
- vyjmutí leštěné součásti z elektrolytu, odkapání ulpělého elektrolytu před odložením součásti do nádoby s čistou vodou
- vyjmutí součásti z nádoby s čistou vodou a peněření do další vany s dekapací kapalineou (5% až 10% kyselina sírová) na 5 až 10 minut
- konečné opláchnutí čistou vodou

3.3.4. MĚŘENÍ DRSNOSTI POVRCHU A NAMĚŘENÉ HODNOTY

Konečná výsledná kvalita el.chem. obroběných povrchů je dána :

- kvalitou povrchu výchozího materiálu
- dodržením technologické kázně při předzpracování
- důsledným dodržováním parametrů el.chem. obrábění

V tabulce 5 jsou uvedeny drsnosti povrchu R_a pro válcevaný měřený plech tloušťky 4 mm z nerezavějící oceli. Povrch plechu nebyl žádným způsobem upraven.

V tabulce 6 jsou drsnosti povrchu R_a uvedeny pro stejný válcevaný peletovar jako v tab. 5, ale povrch materiálu byl upraven broušením.

Jednotlivé drsnosti byly naměřeny na drsnoměru Diavit. Hodnoty uvedené v tab. 5 a 6 jsou drsnosti pro materiál 17 246, které se prakticky neliší od naměřených hodnot R_a mat. 17 248 a 17 348.

Tab. 5 Drsnosti povrchu měřeného válcevaného plechu tl. 4 mm surevěho a el.chem. obroběného

R_a před el.chem. leštěním (μm)		R_a po el.chem. leštění (μm)	
průměrná	v rozmezí	průměrná	v rozmezí
2,48	2,19 až 3,02	1,12	1,05 až 1,36
3,16	2,59 až 3,56	1,69	1,28 až 2,22

**Tab. 6 Drsností povrchu mořeného válcovaného plechu tl. 4 mm
upraveného brusením a el.chem. obrobění**

R_a před el.chem. leštěním (μm)	R_a po el.chem. leštění (μm)	v rozmezí
průměrná	průměrná	
3,2	1,98	1,22 až 2,7
1,6	1,21	0,8 až 1,3
0,8	0,47	0,4 až 0,55

4. HODNOCENÍ PROCESU BROUŠENÍ A LEŠTĚNÍ

Cílem v procesu broušení bylo vytypovat nejvhodnější brousící koteč a způsob chlazení, vybrané z katalogu, pro daný typ broušení a obráběný materiál (nerezavějící ocel).

Při hodnocení této procesu obrábění byly posuzovány tyto ukazatele :

- dosažená drsnost povrchu
- velikost poměrného obrusu
- velikost a gradient napětí v povrchové vrstvě

Jednotlivá kriteria však nemusí určit zcela jednoznačně nejvhodnější brousící koteč a způsob chlazení pro daný materiál. Nedá se také s naprostou určitostí konstatovat, které z uvedených kriterií je při hodnocení důležitější. V našem případě bylo ovšem dáváno přednosti kritériu velikosti a gradientu napětí v povrchové vrstvě neboť to má největší vliv na možnost tvoření prasklin v povrchové zóně materiálu.

Pro zadané použití materiálů na petravinářské a chemické účely jsou praskliny na povrchu absolutně nežádoucí. V prasklinách je možnost zachycování bakterií, kvasinek apod. Drsnost povrchu je kriterium především důležité z hlediska dalšího obrábění - elektrochemického leštění. Poměrný obrus je zase ukazatelem účinnosti broušení, ale nevystihuje plně pracovní podmínky obrábění.

Cílem v procesu elektrochemického leštění bylo určit drsnost povrchu daných materiálů po tomto druhu obrábění v závislosti na dosažené předchozí kvalitě povrchu po mechanickém breušení. Drsnost povrchu není v tomto případě zcela určujícím kriteriem pro technologické procesy petravinářského a chemického průmyslu jak tomu je u plech upravených breušením. Velice důležitá je zde zaoblenost výsledného mikroprofilu a tudíž omyvatelnost získaného povrchu. Tyto vlastnosti povrchu se výrazně ukazují právě při elektrochemickém leštění, kde profil povrchu s rosteucím časem nebo intenzitou leštění se stává zaoblenějším a tím kvalitnějším. Navíc po tomto způsobu leštění nevzniká v povrchové vrstvě napětí, ale spíše ho odstraňuje.

4.1. VYHODNOCENÍ VÝSLEDKŮ

Vyhodnocení výsledků breušení bylo provedeno z grafů na obrázcích 11 až 13, z důvodu lepšího přehledu naměřených a vypočítaných hodnot.

Výběr nejhodnějšího brousicího ketouče a způsobu chlazení pro materiál 17 248.4.

Z uvedených grafů vyplívá, že použité brousicí ketouče a způsoby chlazení 2C (A99 25L 9V a Rebel), 4B a 4C jsou z hlediska povrchové napjatosti materiálu nevhodné. Je zde možnost tvarby trhlin, protože mez pevnosti v tahu tehoto materiálu $\sigma_{pt} = 500 \text{ MPa}$ je nižší než dosažené výsledky. Podle kriteria drsnosti povrchu R_a a R_m nejlepší výsledky dosáhla kombinace (ketouč - způsob chl.) 3C. Dekonce má i vysoký poměrný obrus. Ale při použití ketouče č. 3 (C49 25J 10V) vznikala v místě obrábění vysoká teplota

vlivem ucpávání pérů na povrchu koteuče obráběným materiálem.
Vyšeká teplota se projevovala zabarvením povrchu vzorku.

Koteuč č. 3 se velice rychle stupeval. Prete tento typ koteuče by mohl mít své použití při broušení s velmi malými hleubkami úběru. Například při dokončevacím broušení. Jinak nejlepších výsledků dosáhl, podle zadaných kriterií, koteuč č. 1 (A98T 25K 9V) se způsobem chlazení C (Rebel). Kombinace 1C má dobré drsnosti povrchu R_a i R_m , vcelku vyšeký poměrný obrus a minimální povrchové napětí v tahu. Mimo toho obecně výsledky vykazují ještě brousící koteuč a způsob chlazení 1B, 3A, 2B (A je broušení za sucha).

Výběr nevhodnějšího brousícího koteuče a způsobu chlazení pro materiál 17 348.4.

Pro tento materiál na grafu pro povrchové napětí $\tilde{\sigma}_{max\ t}$ můžeme určit brousící koteuče a způsoby chlazení 1A, 2B, 3B, 3C, 4B a 4C jako nevhodné a použitelné jen s jistým rizikem vzniku trhlin na broušeném povrchu. Pro nerezavějící ocel 17 348.4 je mez pevnosti v tahu $\tilde{\sigma}_{pt} = 500 \text{ MPa}$. Ze zbývajících kombinací dosáhl nejhodnotnějších výsledků brousící koteuč č. 1 (A98T 25K 9V) s chladicí kapalinou typu Rebel a koteuč č. 2 (A99 25L 9V) také s Rebolem. Oba dva vytypované koteuče s řeznou kapalinou dávají kvalitní povrch s nízkou drsností R_a i R_m a vykazují ucházející poměrný obrus. Kombinace 2C dokonce ještě o trochu lepší. Použitelné, ale jenom v určité míře, by mohly být koteuče a chlazení 1B a 3A.

Výběr nevhodnějšího brousícího koteuče a způsobu chlazení pro materiál 17 246.4.

Podebně jako u předešlých dvou materiálů vzhledem k vysokému povrchovému napětí v tahu $\tilde{\sigma}_{max\ t}$, braného z grafu pro tento prut, se nedoporučují, z důvodů už popsáných,

brousící kotouče a způsoby chlazení 1A, 1B, 1C, 3B a 4A.

Ze všech zbývajících nejlépe se osvědčil kotouč č. 3

(C49 25L 10V) s použitím emulgačního oleje typu Rebel, všechny především pro dokončovací operace broušení. (stejné jako u materiálu 17 248.4) Mimo toho ještě velmi dobrých výsledků dosáhly brousící kotouče č. 2 (A99 25L 9V) a č. 4

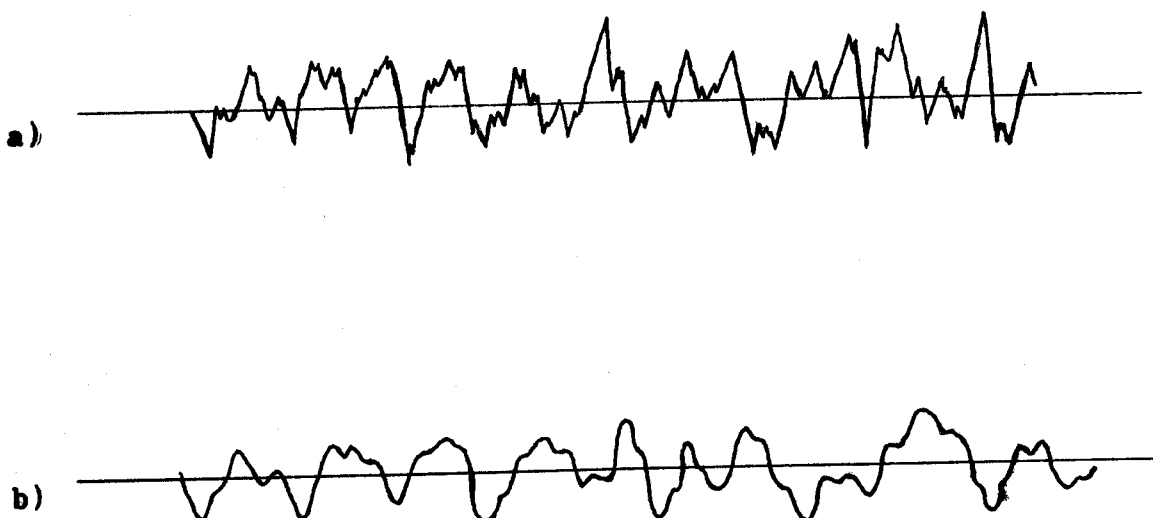
(A98 25K 9V) s použitím stejné řezné kapaliny typu Rebel.

Kotouč č. 2 vzhledem k poměrnému obrusu je na tom o trochu lépe a proto také můžeme konstatovat, že právě pro tento materiál v klasickém procesu broušení, je vzhledem k uvažovaným kriteriím nejhodnější.

Celkově bychom potom mohli charakterizovat dosažené výsledky tak, že uplatnění pro tyto tři nerezavějící oceli nenalezl prakticky kotouč č. 4 (A98 25K 9V) a broušení těchto ocelí za sucha také není výhodné. K dosažení kvalitního povrchu v procesu broušení je nejlepší použít ke chlazení a mazání místa řezu emulgační olej Rebel o 5-ti % koncentraci. Řezná kapalina Emulzin H dosahuje horších výsledků, ale opět výrazně lepších, než při suchém broušení.

Hodnocení výsledků elektrochemického leštění je velice jednoduché, protože z tabulek 5 a 6 vyplívá zcela jednoznačně následující závislost. Čím je povrch před elektrochemickým leštěním kvalitnější z hlediska drsnosti, tím je výsledná hodnota R_a po el.chem. leštění nižší. To znamená bude-li hodnota po broušení $R_a = 0,8 \mu\text{m}$, což je asi průměrná hodnota drsnosti dosahovaná už vytypovanými brousicími kotouči a způsoby chlazení při stanovených řezných podmínkách pro dané nerezavějící oceli, potom hodnota drsnosti povrchu po el.chem. leštění se bude pohybovat v malém rozmezí okolo výsledné $R_a = 0,5 \mu\text{m}$.

Jak už bylo napsáno v předcházející kapitole není drsnost povrchu při el.chem. obrábění určujícím kriteriem pro výrobky potravinářského a chemického (popř. farmaceutického) charakteru. Velice důležitá je zde zaoblenost mikroprofilu a tím omyvatelnost povrchu, která právě vzniká při tomto způsobu leštění. Na obr. 14 je znázorněn rozdíl ve tvaru mikroprofilu po jemném mechanickém broušení a po el.chem. obrábění při stejné drsnosti povrchu R_a .



Obr. 14 Diagramy profilu povrchu materiálu stejné drsnosti R_a

- a) povrch upraven mechanickým broušením
- b) povrch upraven elektrochemickým leštěním

Dále velice významným a oproti mechanickému leštění obráceným činitelem je vlastnost el.chem. leštění odstraňovat

povrchové napjatosti po předchozím obrábění nebo tváření materiálu. Ovšem hluboké rýhy nebo praskliny na povrchu materiálu odstranit nedokáže, ty se musí nejlépe odbrusit.

5. NÁVRH TECHNOLOGIE BROUŠENÍ A LEŠTĚNÍ V PODMÍNKÁCH
ZVÚ HRADEC KRÁLOVÉ

Všechny hodnoty týkající se procesu broušení byly desaženy při obrábění na rovinné brusce. Přitom v ZVÚ Hradec Králové se většinou brousí vnitřní povrchy válcových nádob ručně. Až nyní se bude postupně zavádět do provozu nová planetová bruska na broušení popsaných povrchů. Proto je nutné chápout tyto návrhy technologií vyleženě informativně a desažené výsledky na této nové brusce mohou být zcela odlišné. Pro určení konkrétních a přesných hodnot je nutné provádět měření přímo na uvedené brusce. Zatím tato možnost nebyla, jelikož planetová bruska je ve stadiu vývoje a je chráněna několika patenty.

Návrh technologie broušení pro materiál 17 248.4 specifikáve stanovení řezných podmínek, vhodného brousicího nástroje a nejvhodnějšího způsobu chlazení. Řezné podmínky pro tyto vysoko legevané materiály jsou stanoveny z katalogu brousicích nástrojů 1989 /7/. U všech třech nerezových materiálů jsou stejné.

- obvodová rychlosť koteuče	$v_k = 31,7 \text{ m.s}^{-1}$
posuvová rychlosť	$v_o = 13,92 \text{ m.min}^{-1}$
hloubka záběru	$h = 0,01 \text{ mm}$
příčný posuv	$v_p = 2/3 \text{ šířky koteuče}$

Vhodný brousicí koteuč pro tuto ocel a z výsledků nejdoporučovanější je koteuč č. 1 A98T 25K 9V. Nejvhodnější je chlazení označované C a to znamená Robolem s 5-ti % koncentrací.

Pro nerezavějící ocel 17 348.4 jsou řezné podmínky v_k , v_o , h a v_p shodné s materiálem č. 1. Z vyhodnocování výsled-

ků vyplívá breusící koteuč, který dává nejpříznivější vlastnosti povrchu materiálu, s č. 2 A99 25L 9V v kombinaci s chladící kapalineou Rebelom o 5-ti % koncentraci.

Konečně pro materiál 17 246.4 jsou řezné podmínky opět shodné a nejhodnější ze sady breusících nástrojů je koteuč s č. 2 A99 25L 9V a také s řeznou kapalineou typu emulgační olej s názvem Rebel o 5-ti % koncentraci.

Tolik by asi bylo k návrhu technologie broušení daných materiálů. Nemá totiž cenu rozepisovat další údaje technologického postupu, protože by se musely stanovit pro předem známý výrobek a breusící stroj.

Návrh technologie leštění není vlastně návrhem, ale doporučením popsaného způsobu leštění elektrochemickým rezonuštěním. Základní leštící parametry budou shodné s optimálními, které jsou již předepsány v kapitole 3.3.2. Je třeba si především uvědomit výhodnost použití leštění právě elektrochemického. Nejen, že dává v pohledu na mechanickým leštěním daleko kvalitnější povrch, ale vychází ve svém prospěch i mnohem lépe ekonomicky. V přepočtu na normehodiny, jak u kterého výrobku, to vypadá tak asi 3-krát méně Nrod, než u mechanického leštění a broušení. Zajisté to neplatí obecně, ale pouze v podmírkách ZVÚ Hradec Králové. Z ekonomických výpočtů vyplívá, že čím je leštěná součást (v našem případě válcová nádoba) větší, tím je pro el.chem. obrábění ekonomicky výhodnější.

6. ZÁVĚR

Pro efektivní broušení je jedním ze základních předpokladů dobrý, kvalitní a především správně zvolený brousící nástroj. Jak je možné vidět z předcházejících stránek je pro broušení velice důležité chlazení místa řezu vhodnou řeznou kapalinou. Změnu řezné kapaliny se mění kvalita výsledného povrchu materiálu více než změnu doporučeného brousícího kotouče. Jen správně zvolený brousící nástroj a řezné podmínky tzn. i chlazení umožňují obrábět za minimálních nákladů, při co největší efektivnosti procesu.

Pohled do tabulek 2 až 4 a grafů na obr. 11 až 13 s konkrétními výsledky měření a výpočtu nám dává jasného představu, který nebo které brousící kotouče a způsoby chlazení jsou pro uvedený materiál nejhodnější podle daných kriterií.

Elektrochemické leštění je jedním z perspektivních druhů výroby kvalitních povrchů v podstatě neporovnatelný s jinými druhy leštění. V jeho prospěch hovoří jak dosažené výsledky měření tak ekonomické aspekty. Z tabulek 5 a 6 je možné vyčíst závislost drsnosti povrchu materiálu před el.chem. leštěním na výsledné drsnosti po vlastním leštění.

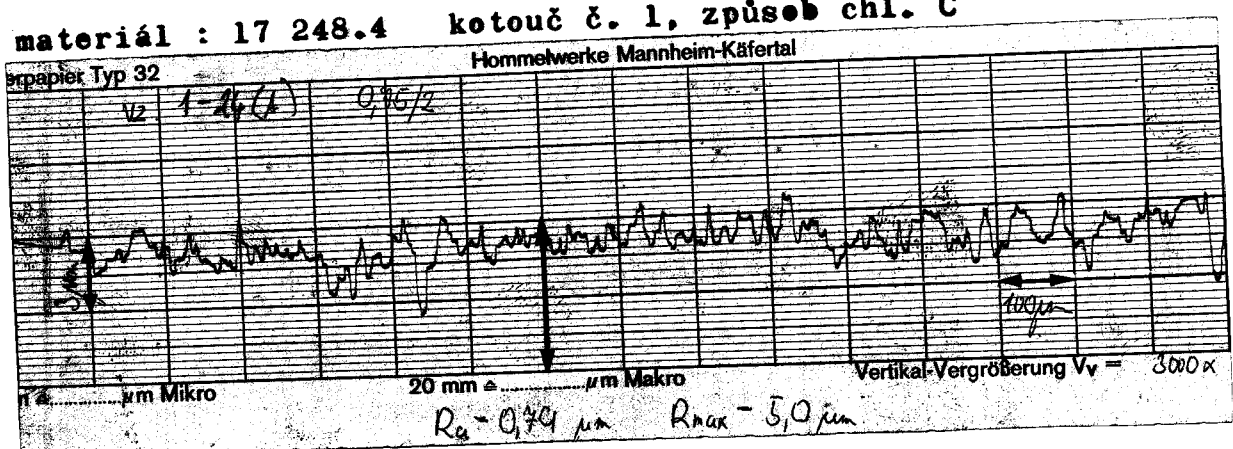
U leštěných obrobků touto metodou se ovšem nekontroluje hodnota drsnosti, ale jejich lesklost, která se porovnává s cejchovanými etalonami.

Celá diplomová práce povětšinou neobsahuje vyleženě objevené momenty, ale spíše jsou v ní uvedené teorie notoriicky známé. Měla za úkol vytypovat pro tradiční nerezavějící oceli vhodný brousící nástroj a řezné podmínky tak, aby získaný broušený povrch byl vhodným východiskem pro el.chem. leštění.

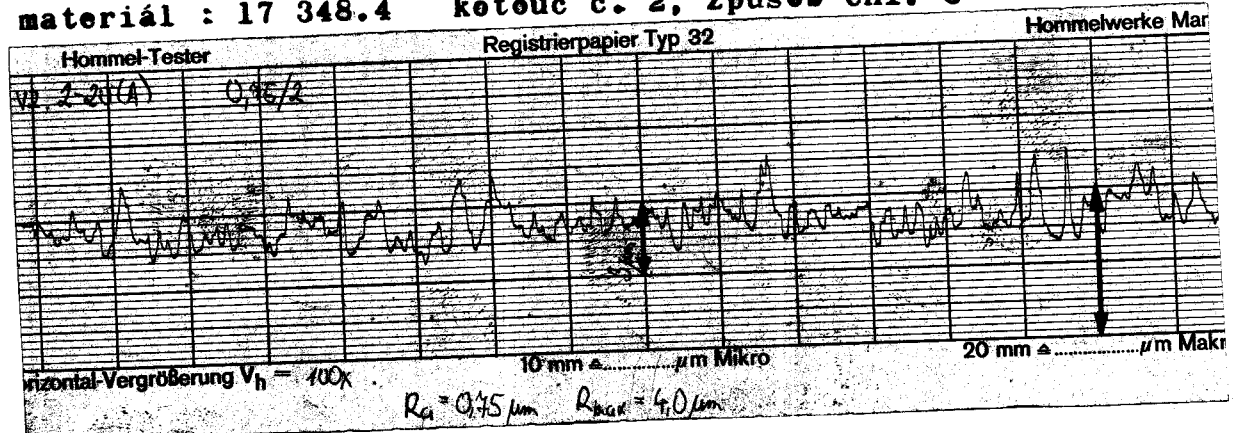
SEZNAM POUŽITÉ LITERATURY

- /1/ GAŠPÁREK, J.: Dekončovacie zpôsoby obrábania. 1. vyd.
SNTL Alfa, Praha 1979.
- /2/ MASLOV, J.N.: Teorie broušení kovů. 1. vyd. SNTL, Praha
1979.
- /3/ SLAVÍKOVÁ, J.: Vytypování nejvhodnější technologie při brou-
šení materiálů obtížně brusitelných. /diplo-
mová práce/ Liberec 1988. - VŠST Liberec.
Fakulta strojní.
- /4/ KOMENDA, D.: Vybudování laboratoře pro měření zbytkových
pnutí metodeou elektrolytického rozpuštění.
/diplomová práce/ Liberec 1986. - VŠST Liberec.
- /5/ BUMBÁLEK, B.: Řezné kapaliny. 1. vyd. SNTL, Praha 1963.
- /6/ KOLEKTIV.: Efektívne použitie rezných kvapalín pri obrá-
baní. 1. vyd. Dom techniky ČSVTS, Bratislava
1988.
- /7/ KOLEKTIV,: Katalog brousicích nástrojů 1989. 1. vyd.
TST k.p. Benátky n.J., Praha 1989.
- /8/ MERUŇKA, DREJNAR.: Elektrochemické obrábění vnitřních
povrchů UKT a CKT./výzkumná zpráva/
Hradec Králové 1986.
- /9/ ČSN 01 02 50

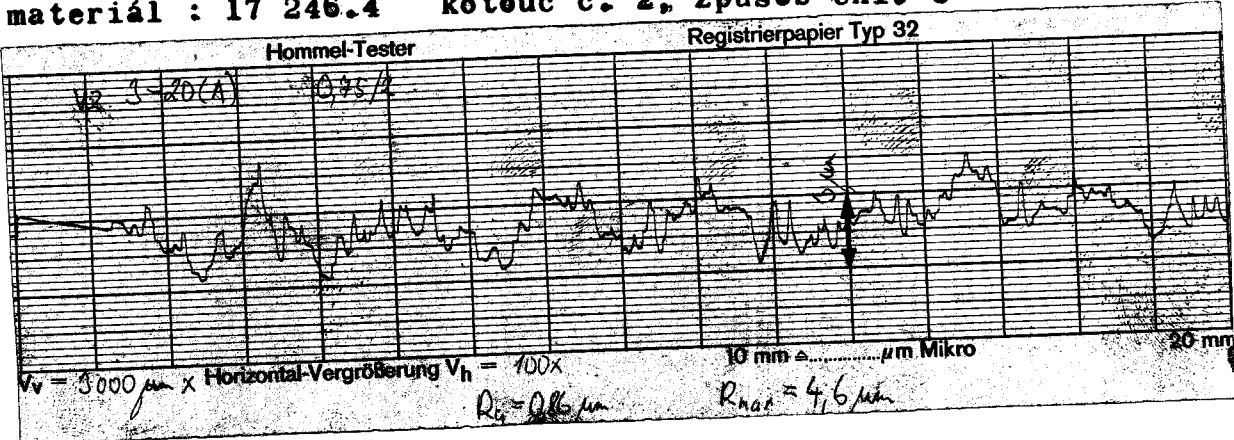
materiál : 17 248.4 koteuč č. 1, způsob chl. C



materiál : 17 348.4 koteuč č. 2, způsob chl. C



materiál : 17 246.4 koteuč č. 2, způsob chl. C

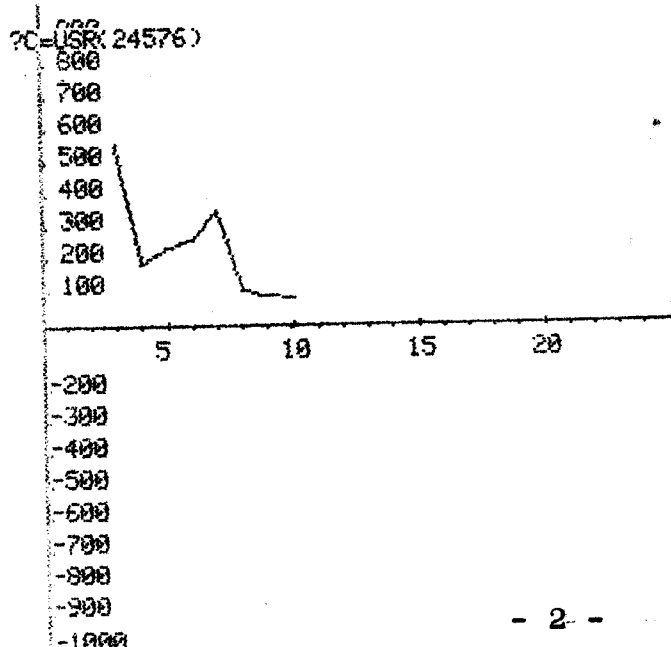


Obr. 15 Grafické záznamy nejlepších dosáhnutých drsností povrchu pro všechny tři materiály

MERENI BYLO PROVEDENO NA KOM
 VSST V LIBERCI METODOU
 ELEKTROLYTICKEHODOLEPTAVANI
 DNESRPEN90
 HODNOTA PNUTI SIGMA (I)
 PLOCHEHO VZORKU, CISLO: 1.16.
 HK(I) JE HLUBKA POD POVRSEM, V NIZ
 BYLO NAPETI ZJISTOVANO
 (MERENI PROVADIL: KOMENDA)
 I= 1 HK(I)= 1E-05
 SIGMAX(I)= 1.11436E+09
 I= 2 HK(I)= 2E-05
 SIGMAX(I)= 1.03991E+09
 I= 3 HK(I)= 3E-05
 SIGMAX(I)= 5.55173E+08
 I= 4 HK(I)= 4E-05
 SIGMAX(I)= 1.87898E+08
 I= 5 HK(I)= 5E-05
 SIGMAX(I)= 2.32321E+08
 I= 6 HK(I)= 6E-05
 SIGMAX(I)= 2.61272E+08
 I= 7 HK(I)= 7E-05
 SIGMAX(I)= 3.52253E+08
 I= 8 HK(I)= 8E-05
 SIGMAX(I)= 9.97868E+07
 ?C=USR(24576)

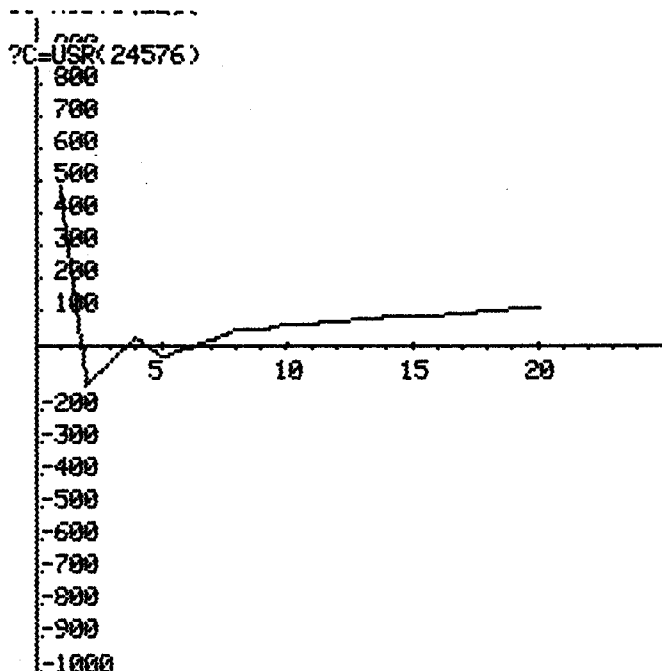
CONT
 I= 9 HK(I)= 9E-05
 SIGMAX(I)= 8.32068E+07
 I= 10 HK(I)= 1E-04
 SIGMAX(I)= 8.22922E+07

?C=USR(24576)



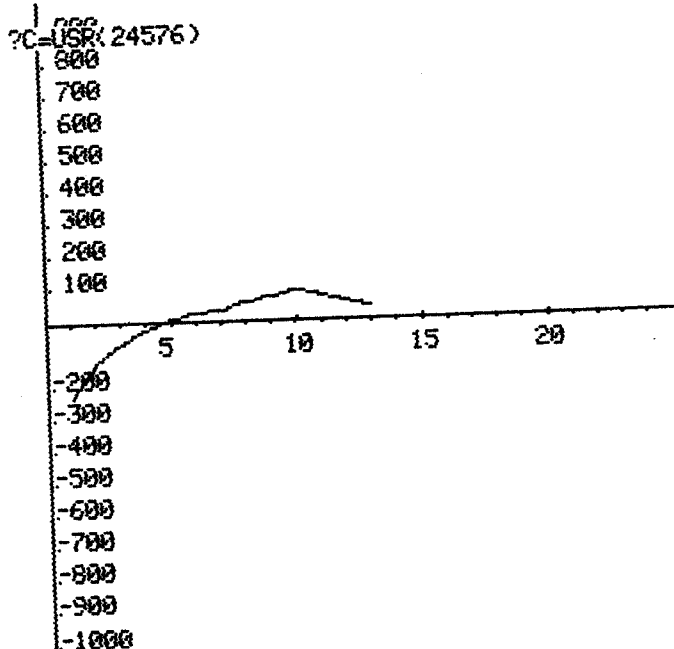
MERENI BYLO PROVEDENO NA KOM
 VSST V LIBERCI METODOU
 ELEKTROLYTICKEH OILEPTAVANI
 INESRPEN98
 HODNOTA PNUTI SIGMA (I)
 PLOCHEHO VZORKU,CISLO:1.20.
 HK I) JE HLUBKA POD POVRCHEM,V NIZ
 BYLO NAPETI ZJISTOVANO
 (MERENI PROVADEL:KOMENBA)
 I= 1 HK I)= 1E-05
 SIGMA(I)= 4.83711E+08
 I= 2 HK I)= 2E-05
 SIGMA(I)=-1.30353E+08
 I= 3 HK I)= 3E-05
 SIGMA(I)=-5.31195E+07
 I= 4 HK I)= 4E-05
 SIGMA(I)= 2.29966E+07
 I= 5 HK I)= 5E-05
 SIGMA(I)=-3.99861E+07
 I= 6 HK I)= 6E-05
 SIGMA(I)=-1.45578E+07
 I= 7 HK I)= 7E-05
 SIGMA(I)= 1.05002E+07
 I= 8 HK I)= 8E-05
 SIGMA(I)= 4.26344E+07
 ?C=USR(24576)

I= 9 HK I)= 9E-05
 SIGMA(I)= 4.70995E+07
 I= 10 HK I)= 1E-04
 SIGMA(I)= 5.8884E+07
 I= 11 HK I)= 1.5E-04
 SIGMA(I)= 8.3907E+07
 I= 12 HK I)= 2E-04
 SIGMA(I)= 1.12369E+08



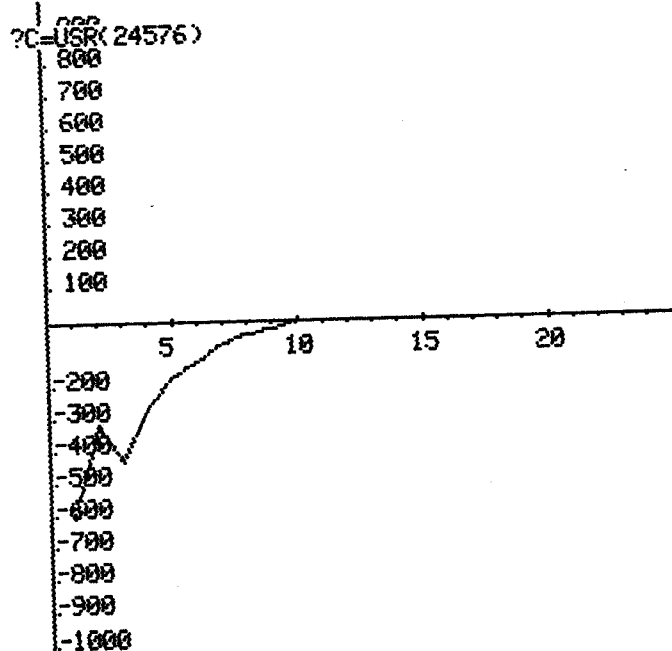
MERENI BYLO PROVEDENO NA KOM
 VSST V LIBERCI METODOU
 ELEKTROLYTICKEH OILEPTAVANI
 INESRPEN96
 HODNOTA PRVUTI SIGMA (I)
 PLOCHEHO VZORKU, CISLO: 1.24.
 HK(I) JE HLDOUBKA POD POKRCHEN, V NIZ
 BYLO NAPETI ZJISTOVANO
 (MERENI PROVADEL: KOMENDA)
 I= 1 HK(I)= 1E-85
 SIGMAX(I)= -2.33515E+88
 I= 2 HK(I)= 2E-85
 SIGMAX(I)= -1.29173E+88
 I= 3 HK(I)= 3E-85
 SIGMAX(I)= -6.97986E+87
 I= 4 HK(I)= 4E-85
 SIGMAX(I)= -2.57166E+87
 I= 5 HK(I)= 5E-85
 SIGMAX(I)= 3.34307E+86
 I= 6 HK(I)= 6E-85
 SIGMAX(I)= 1.76486E+87
 I= 7 HK(I)= 7E-85
 SIGMAX(I)= 2.60327E+87
 I= 8 HK(I)= 8E-85
 SIGMAX(I)= 5.42067E+87
 ?C=USRK(24576)

I= 9 HK(I)= 9E-85
 SIGMAX(I)= 7.34593E+87
 I= 10 HK(I)= 1E-84
 SIGMAX(I)= 8.67746E+87
 I= 11 HK(I)= 1.3E-84
 SIGMAX(I)= 3.86475E+87



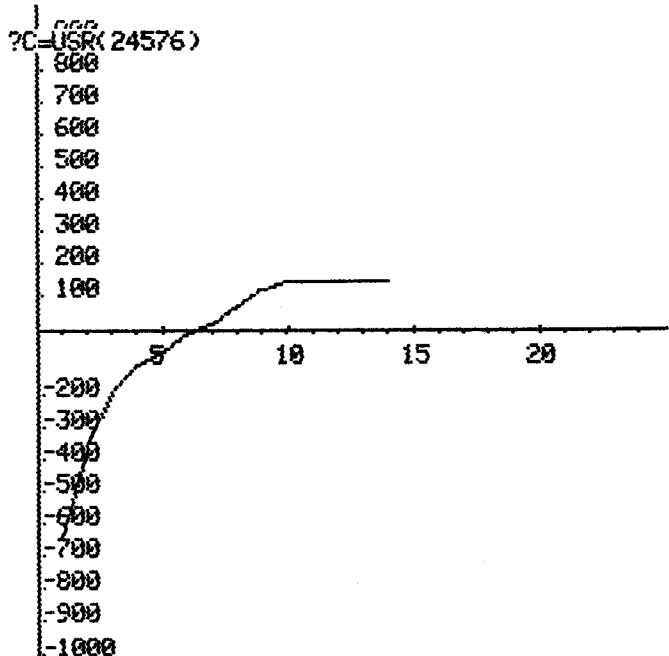
MERENI BYLO PROVEDENO NA KOM
 VSST V LIBERCI METODOU
 ELEKTROLYTICKEHODOLEPTAVANI
 INESRPEN90
 HODNOTA PNIUTI SIGMA (I)
 PLOCHEHO VZORKU.CISLO:1.26
 HK(I) JE HLDOUBKA POD POVRSEM.V NIZ
 BYLO NAPETI ZJISTOVANO
 (MERENI PROVADIL:KOMENDA)
 I= 1 HK(I)= 1E-05
 SIGMAX(I)=-6.08079E+08
 I= 2 HK(I)= 2E-05
 SIGMAX(I)=-3.19166E+08
 I= 3 HK(I)= 3E-05
 SIGMAX(I)=-4.36756E+08
 I= 4 HK(I)= 4E-05
 SIGMAX(I)=-2.71813E+08
 I= 5 HK(I)= 5E-05
 SIGMAX(I)=-1.69849E+08
 I= 6 HK(I)= 6E-05
 SIGMAX(I)=-1.27444E+08
 I= 7 HK(I)= 7E-05
 SIGMAX(I)=-6.65283E+07
 I= 8 HK(I)= 8E-05
 SIGMAX(I)=-4.60055E+07
 ?C=USR(24576)

I= 9 HK(I)= 9E-05
 SIGMAX(I)=-2.57627E+07
 I= 10 HK(I)= 1E-04
 SIGMAX(I)=-5.79008E+06
 I= 11 HK(I)= 1.4E-04
 SIGMAX(I)=-3.54518E+06



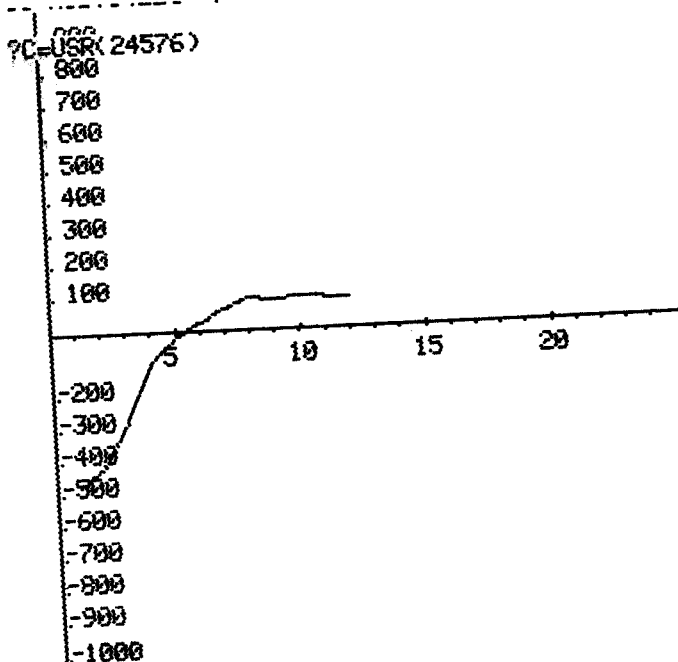
MERENI BYLO PROVEDENO NA KOM
 VSST V LIBERCI METODOU
 ELEKTROLYTICKEHODOLEPTAVANI
 DNESRPEN98
 HODNOTA PNUTI SIGMA (I)
 PLOCHEHO VZORKU.CISLO:1.27.
 HK(I) JE HLUBKA POD POVRCHEM,V NIZ
 BYLO NAPETI ZJISTOVANO
 (MERENI PROVADEL KOMENDA)
 I= 1 HK(I)= 1E-05
 SIGMAX(I)= -6.48617E+08
 I= 2 HK(I)= 2E-05
 SIGMAX(I)= -3.59299E+08
 I= 3 HK(I)= 3E-05
 SIGMAX(I)= -1.94607E+08
 I= 4 HK(I)= 4E-05
 SIGMAX(I)= -1.12362E+08
 I= 5 HK(I)= 5E-05
 SIGMAX(I)= -7.12053E+07
 I= 6 HK(I)= 6E-05
 SIGMAX(I)= -1.0661E+07
 I= 7 HK(I)= 7E-05
 SIGMAX(I)= 9.34316E+06
 I= 8 HK(I)= 8E-05
 SIGMAX(I)= 6.86751E+07
 ?C=USR(24576)

I= 9 HK(I)= 9E-05
 SIGMAX(I)= 1.19312E+08
 I= 10 HK(I)= 1E-04
 SIGMAX(I)= 1.45662E+08
 I= 11 HK(I)= 1.4E-04
 SIGMAX(I)= 1.42814E+08



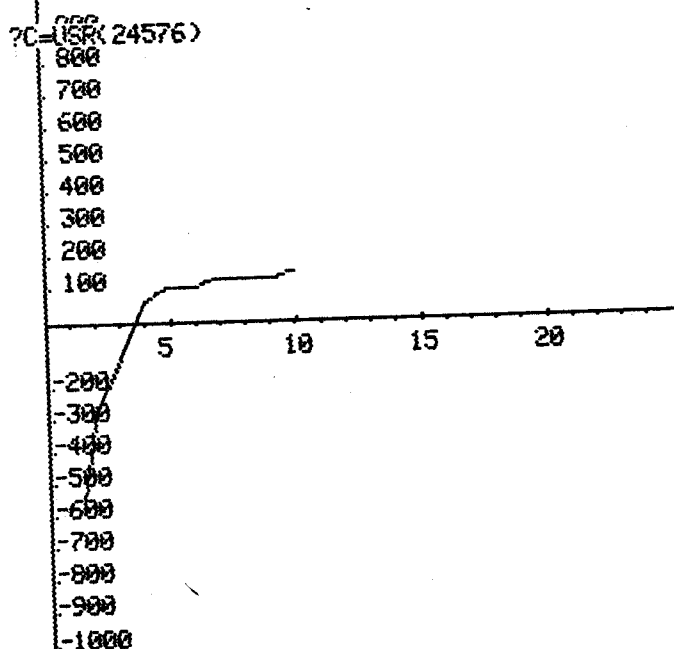
MERENI BYLO PROVEZENO NA KOM
 YSST V LIBERCI METODOU
 ELEKTROLYTICKEH OBLEPTAVANI
 INESRPEN98
 HODNOTA PNUTI SIGMA (I)
 PLOCHEHO VZORKU.CISLO:1.38
 HK(I) JE HLUBKA POD POVRCHEM.V NIZ
 BYLO NAPETI ZJISTOVANO
 (MERENI PROVADEL.KOMENDA)
 I= 1 HK(I)= 1E-05
 SIGMAX(I)=-4.78468E+88
 I= 2 HK(I)= 2E-05
 SIGMAX(I)=-4.17155E+88
 I= 3 HK(I)= 3E-05
 SIGMAX(I)=-2.72874E+88
 I= 4 HK(I)= 4E-05
 SIGMAX(I)=-1.02827E+88
 I= 5 HK(I)= 5E-05
 SIGMAX(I)=-2.48841E+87
 I= 6 HK(I)= 6E-05
 SIGMAX(I)= 2.32734E+87
 I= 7 HK(I)= 7E-05
 SIGMAX(I)= 5.88448E+87
 I= 8 HK(I)= 8E-05
 SIGMAX(I)= 9.11474E+87
 ?C=USR(24576)

I= 9 HK(I)= 9E-05
 SIGMAX(I)= 9.81713E+87
 I= 10 HK(I)= 1E-04
 SIGMAX(I)= 9.46478E+87
 I= 11 HK(I)= 1.2E-04
 SIGMAX(I)= 8.78967E+87



MERENI BYLO PROVEDENO NA KOM
 VSST V LIBERCI METODOU
 ELEKTROLYTICKEH OBLEPTAVANI
 INESRPEN90
 HOJNOSTA PNUTI SIGMA (I)
 PLOCHEHO VZORKU, CISLO: 2.8.
 HK(I) JE HLUBEKA POD POVRSEM, V NIZ
 BYLO HAPETI ZJISTOVANO
 (NERENI PROVADEL KOMENIDA)
 I= 1 HK(I)= 5E-06
 SIGMAX(I)= 2.71654E+09
 I= 2 HK(I)= 9.5E-06
 SIGMAX(I)= 2.58737E+09
 I= 3 HK(I)= 1.45E-05
 SIGMAX(I)= -5.75096E+08
 I= 4 HK(I)= 1.95E-05
 SIGMAX(I)= -2.91201E+08
 I= 5 HK(I)= 2.95E-05
 SIGMAX(I)= -1.03623E+08
 I= 6 HK(I)= 3.95E-05
 SIGMAX(I)= 5.9413E+07
 I= 7 HK(I)= 4.95E-05
 SIGMAX(I)= 1.83886E+08
 I= 8 HK(I)= 5.95E-05
 SIGMAX(I)= 1.03225E+08
 ?C=USRK(24576)

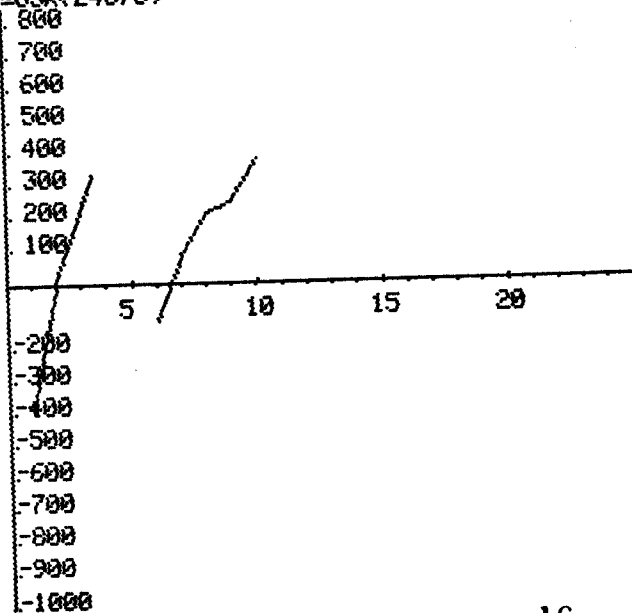
I= 9 HK(I)= 6.95E-05
 SIGMAX(I)= 1.38487E+08
 I= 10 HK(I)= 7.95E-05
 SIGMAX(I)= 1.29655E+08
 I= 11 HK(I)= 8.95E-05
 SIGMAX(I)= 1.28827E+08
 I= 12 HK(I)= 9.95E-05
 SIGMAX(I)= 1.4465E+08



NERENI BYLO PROVEDENO NA KOM
 VSST V LIBERCI METODOU
 ELEKTROLYTICKEHOD OBLEPTAVANI
 INESRPEN90
 HODNOTA PNUTI SIGMA (I)
 PLOCHEHO VZORKU.CISLO:2.9.
 HK(I) JE HLOUBKA POD POVRCHEM,V NIZ
 BYLO NAPETI ZJISTOVANY
 (NERENI PRAVIDEL.KOMENDA)
 I= 1 HK(I)= 1E-05
 SIGMAX(I)=-4.82752E+08
 I= 2 HK(I)= 2E-05
 SIGMAX(I)= 1.64556E+06
 I= 3 HK(I)= 3E-05
 SIGMAX(I)= 2.15563E+08
 I= 4 HK(I)= 3.5E-05
 SIGMAX(I)= 3.34671E+08
 I= 5 HK(I)= 4E-05
 SIGMAX(I)=-1.13488E+09
 I= 6 HK(I)= 4.5E-05
 SIGMAX(I)=-4.39625E+09
 I= 7 HK(I)= 5E-05
 SIGMAX(I)=-1.32015E+09
 I= 8 HK(I)= 6E-05
 SIGMAX(I)=-1.18767E+08
 ?C=USRK(24576)

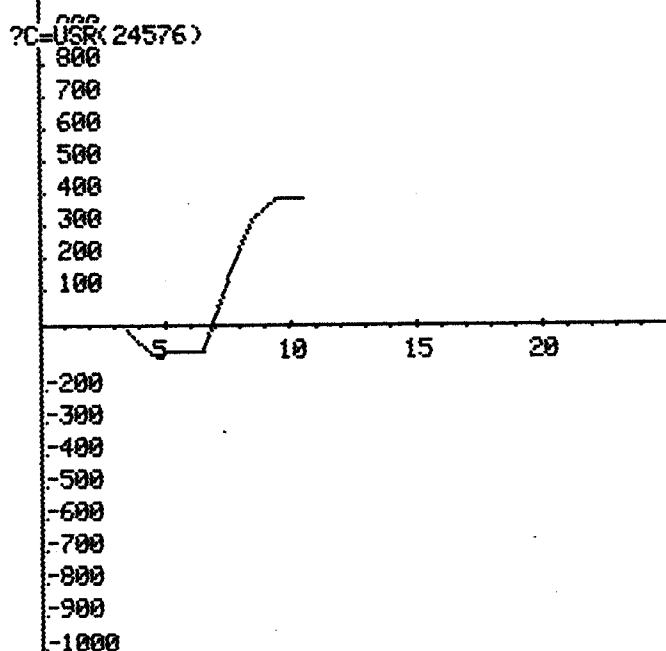
I= 9 HK(I)= 7E-05
 SIGMAX(I)= 8.89888E+07
 I= 10 HK(I)= 8E-05
 SIGMAX(I)= 2.12778E+03
 I= 11 HK(I)= 9E-05
 SIGMAX(I)= 2.4451E+03
 I= 12 HK(I)= 1E-04
 SIGMAX(I)= 3.7482E+03

?C=USRK(24576)



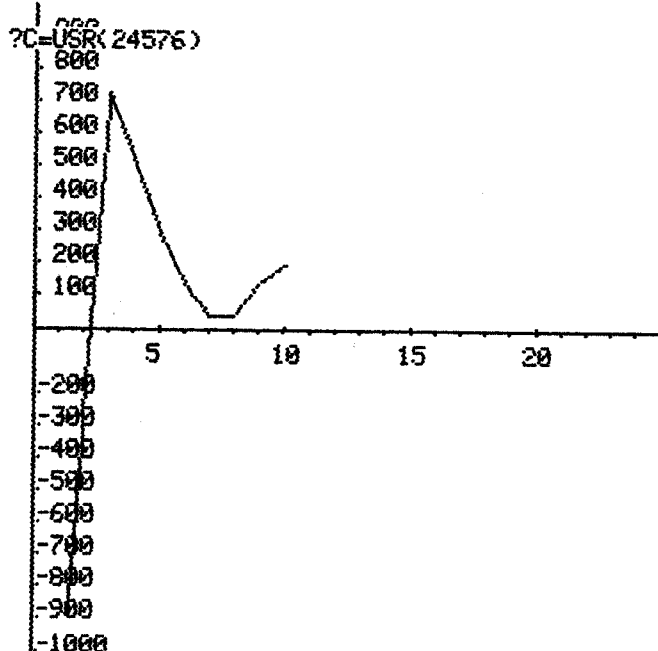
MERENI BYLO PROVEDENO NA KOM
 YST V LIBERCI METODOU
 ELEKTROLYTICKEHODOLEPTAVANI
 DNE SRPEN 90
 HODNOTA PNUTI SIGMA (I)
 PLOCHEHO VZORKU CISLO: 2.17.
 HK(I) JE HLUBKA POD POVRCHEM, V NIZ
 BYLO NAPETI ZJISTOVANO
 (MERENI PROVABEL KOMENIA)
 I= 1 HK(I)= 5E-05
 SIGMAX(I)= -9.60731E+09
 I= 2 HK(I)= 1E-05
 SIGMAX(I)= -5.22902E+09
 I= 3 HK(I)= 1.5E-05
 SIGMAX(I)= 1.22876E+09
 I= 4 HK(I)= 2E-05
 SIGMAX(I)= 2.12296E+09
 I= 5 HK(I)= 2.5E-05
 SIGMAX(I)= 1.36896E+09
 I= 6 HK(I)= 3.5E-05
 SIGMAX(I)= -1.66538E+07
 I= 7 HK(I)= 4.5E-05
 SIGMAX(I)= -9.09546E+07
 I= 8 HK(I)= 5.5E-05
 SIGMAX(I)= -9.03528E+07
 ?C=USRK(24576)

I= 9 HK(I)= 6.5E-05
 SIGMAX(I)= -8.97533E+07
 I= 10 HK(I)= 7.5E-05
 SIGMAX(I)= 1.32808E+08
 I= 11 HK(I)= 8.5E-05
 SIGMAX(I)= 3.16624E+08
 I= 12 HK(I)= 9.5E-05
 SIGMAX(I)= 3.88397E+08
 I= 13 HK(I)= 1.05E-04
 SIGMAX(I)= 3.86037E+08



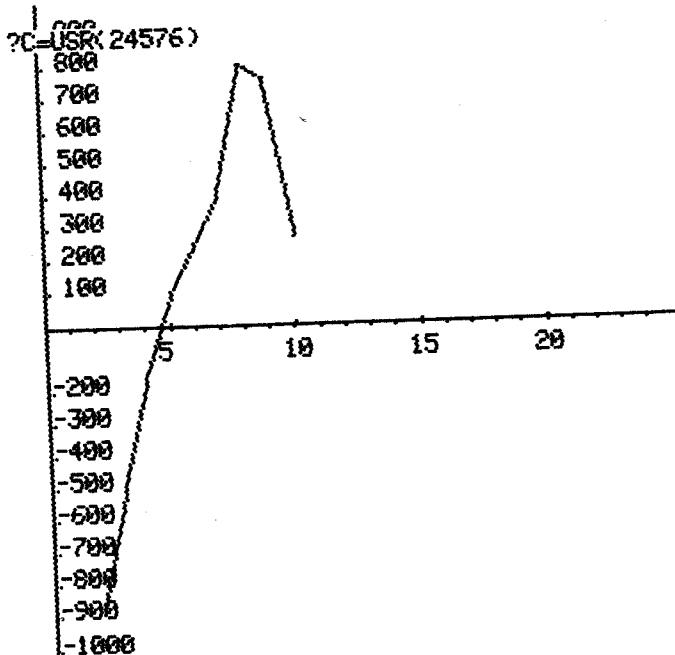
VSST V LIBERCI METODOU
 ELEKTROLYTICKEHODOLU
 DNE SRPEN 98
 HODNOTA PNUTI SIGMA (I)
 PLOCHEO VZORKU CISLO: 2.22.
 HK(I) JE HLUBKA POD POVRSEM, V NIZ
 BYLO NAPETI ZJISTOVANO
 (MERENI PROVADIL KOMENDA)
 I = 1 HK(I)= 5E-06
 SIGMA(K(I))=-2.53926E+08
 I= 2 HK(I)= 1E-05
 SIGMA(K(I))=-1.9461E+08
 I= 3 HK(I)= 1.5E-05
 SIGMA(K(I))=-9.00507E+08
 I= 4 HK(I)= 2E-05
 SIGMA(K(I))=-3.13548E+08
 I= 5 HK(I)= 3E-05
 SIGMA(K(I))= 7.24191E+08
 I= 6 HK(I)= 4E-05
 SIGMA(K(I))= 5.25835E+08
 I= 7 HK(I)= 5E-05
 SIGMA(K(I))= 2.96827E+08
 I= 8 HK(I)= 6E-05
 SIGMA(K(I))= 1.34064E+08
 I= 9 HK(I)= 7E-05
 ?C=USR(24576)

SIGMA(K(I))= 3.68779E+07
 I= 10 HK(I)= 8E-05
 SIGMA(K(I))= 3.66683E+07
 I= 11 HK(I)= 9E-05
 SIGMA(K(I))= 1.32419E+03
 I= 12 HK(I)= 1E-04
 SIGMA(K(I))= 1.95463E+08



MERENI BYLO PROVEDENO NA KOM
 VSST V LIBERCI METODOU
 ELEKTROLYTICKEHODOLEPTAVANI
 INESRPEN98
 HODNOTA PNUTI SIGMA (I)
 PLOCHEOHO YZORKU, CISLO: 2.25.
 HK(I) JE HLUBKA POD POVRCHEN. V NIZ
 BYLO NAPETI ZJISTOVANO
 (MERENI PRAVDEL: KOMENDA)
 I= 1 HK(I)= 5E-06
 SIGMAX(I)=-3.9136E+09
 I= 2 HK(I)= 1E-05
 SIGMAX(I)=-1.9472E+09
 I= 3 HK(I)= 1.5E-05
 SIGMAX(I)=-1.34855E+09
 I= 4 HK(I)= 2E-05
 SIGMAX(I)=-8.86351E+08
 I= 5 HK(I)= 3E-05
 SIGMAX(I)=-5.08377E+08
 I= 6 HK(I)= 4E-05
 SIGMAX(I)=-1.68992E+08
 I= 7 HK(I)= 5E-05
 SIGMAX(I)= 9.31364E+07
 I= 8 HK(I)= 6E-05
 ?C=USRK(24576)

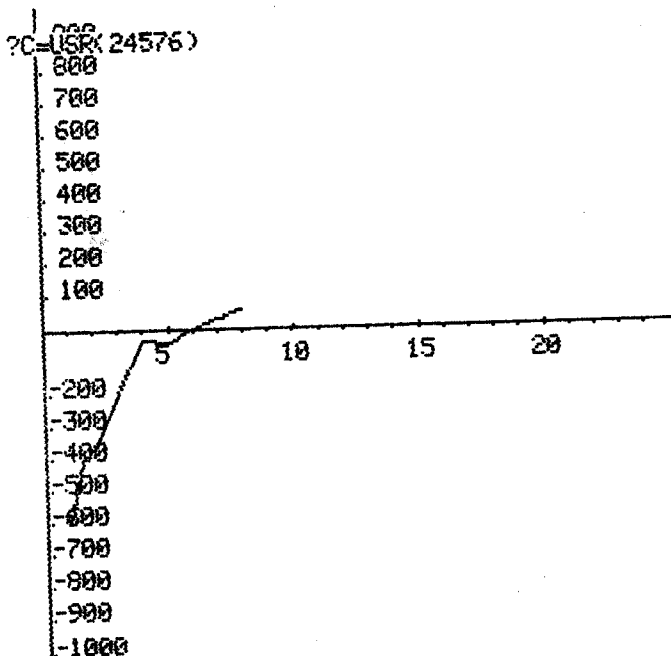
SIGMAX(I)= 2.41526E+08
 I= 9 HK(I)= 7E-05
 SIGMAX(I)= 3.88742E+08
 I= 10 HK(I)= 8E-05
 SIGMAX(I)= 7.94345E+08
 I= 11 HK(I)= 9E-05
 SIGMAX(I)= 7.52661E+08
 I= 12 HK(I)= 1E-04
 SIGMAX(I)= 2.68094E+08



MERENI BYLO PROVEJENO NA KOM
VSST V LIBERCI METODOU
ELEKTROLYTICKEH OBLEPTAVANI
INESRPEN98
HOVNOTA PNUTI SIGMA (I)
PLOCHEHO VZORKU.CISLO:3.18.
K(I) JE HLUBKA POD POVRSEM.V NIZ
BYLO NAPETI ZJISTOVANO
(MERENI PROVADEL.KOMENDA)

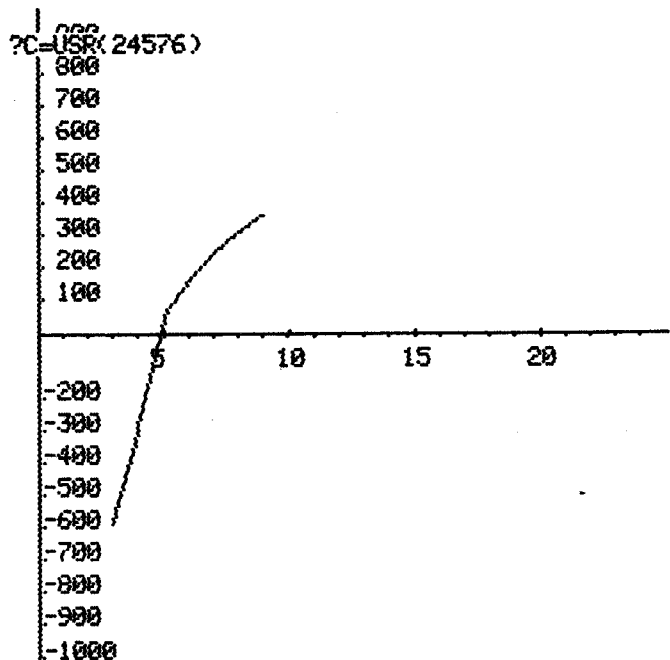
I= 1 HK(I)= 5E-05
SIGMAX(I)=-3.49827E+08
I= 2 HK(I)= 1E-05
SIGMAX(I)=-5.98352E+08
I= 3 HK(I)= 1.5E-05
SIGMAX(I)=-3.98997E+08
I= 4 HK(I)= 2E-05
SIGMAX(I)=-3.75043E+08
I= 5 HK(I)= 3E-05
SIGMAX(I)=-1.98921E+08
I= 6 HK(I)= 4E-05
SIGMAX(I)=-3.47758E+07
I= 7 HK(I)= 5E-05
SIGMAX(I)=-4.58773E+07
I= 8 HK(I)= 6E-05
SIGMAX(I)=-1.65248E+06
?C=USRK 24576)

I= 9 HK(I)= 7E-05
SIGMAX(I)= 3.04634E+07
I= 10 HK(I)= 8E-05
SIGMAX(I)= 5.14711E+07



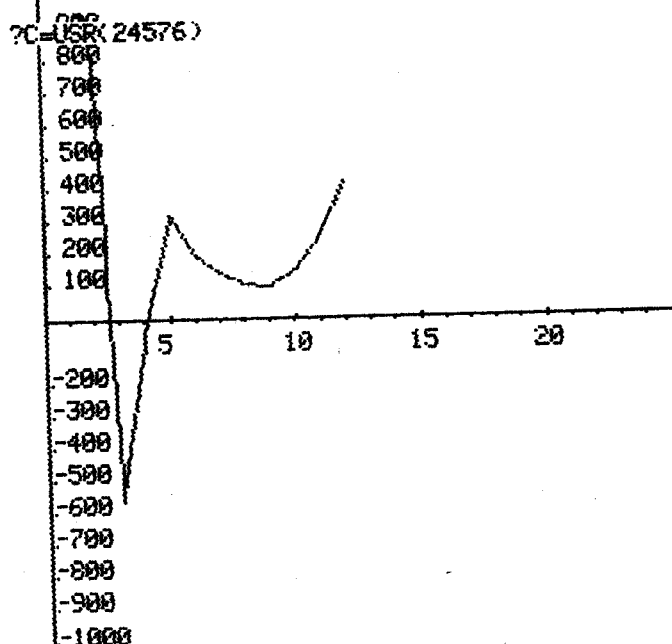
MERENI BYLO PROVEDENO NA KOM
 VSST V LIBERCI NETOBOU
 ELEKTROLYTICKENOLEPTAVANI
 INESRPEN90
 HOJNOSTA PNUTI SIGMA (I)
 PLOCHEO VZORKU, CISLO: 3.26.
 HK(I) JE HLOUBKA POD POVRSEM, V NIZ
 BYLO MAPETI ZJISTOVANO
 (MERENI PROVADEL: KOMENDA)
 I= 1 HK(I)= 5E-06
 SIGMAX(I)= -8.84855E+89
 I= 2 HK(I)= 1E-05
 SIGMAX(I)= -2.98846E+89
 I= 3 HK(I)= 2E-05
 SIGMAX(I)= -1.20936E+89
 I= 4 HK(I)= 3E-05
 SIGMAX(I)= -5.913E+88
 I= 5 HK(I)= 4E-05
 SIGMAX(I)= -3.81121E+88
 I= 6 HK(I)= 5E-05
 SIGMAX(I)= 5.54882E+87
 I= 7 HK(I)= 6E-05
 SIGMAX(I)= 1.60614E+88
 I= 8 HK(I)= 7E-05
 SIGMAX(I)= 2.46673E+88
 ?C=USR(24576)

I= 9 HK(I)= 8E-05
 SIGMAX(I)= 3.13991E+88
 I= 10 HK(I)= 9E-05
 SIGMAX(I)= 3.62898E+88



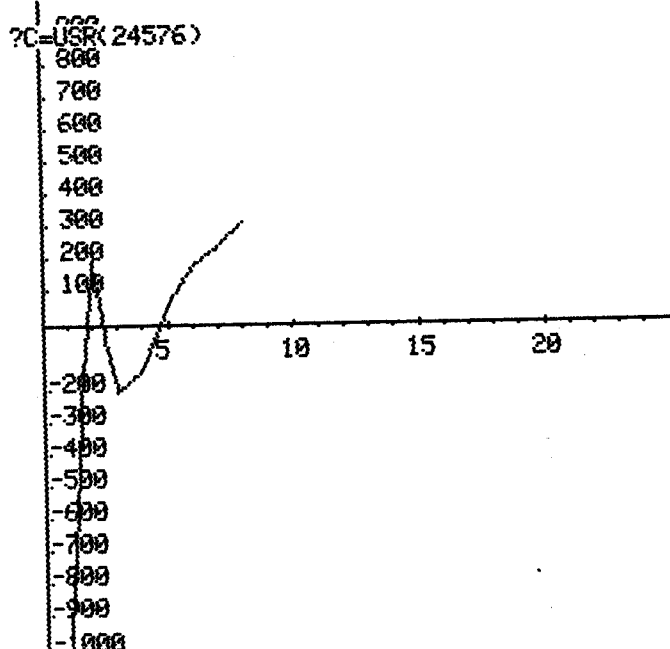
MERENI BYLO PROVEDENO NA KOM
 VSST V LIBERCI METODOU
 ELEKTROLYTICKEHODOLEPTICAVANI
 INESRPEN98
 HODNOTA PNUTI SIGMA (I)
 PLOCHEHO VZORKU.CISLO:3.25.
 HK(I) JE HLUBKA POD POVRCHEM.V NIZ
 BYLO NAPETI ZJISTOVANO
 (MERENI PROVADEL.KOMENDA)
 I= 1 HK(I)= 5E-05
 SIGMAX(I)= -3.16738E+09
 I= 2 HK(I)= 1E-05
 SIGMAX(I)= -1.05508E+09
 I= 3 HK(I)= 1.5E-05
 SIGMAX(I)= 9.34454E+08
 I= 4 HK(I)= 2E-05
 SIGMAX(I)= 9.29371E+08
 I= 5 HK(I)= 2.5E-05
 SIGMAX(I)= 1.77084E+08
 I= 6 HK(I)= 3E-05
 SIGMAX(I)= -5.69729E+08
 I= 7 HK(I)= 4E-05
 SIGMAX(I)= -6.21237E+07
 I= 8 HK(I)= 5E-05
 SIGMAX(I)= 3.20743E+08
 ?C=USRK(24576)

I= 9 HK(I)= 6E-05
 SIGMAX(I)= 1.98267E+08
 I= 10 HK(I)= 7E-05
 SIGMAX(I)= 1.36837E+08
 I= 11 HK(I)= 8E-05
 SIGMAX(I)= 9.99159E+07
 I= 12 HK(I)= 9E-05
 SIGMAX(I)= 9.83362E+07
 I= 13 HK(I)= 1E-04
 SIGMAX(I)= 1.44648E+08
 I= 14 HK(I)= 1.1E-04
 SIGMAX(I)= 2.48182E+08
 I= 15 HK(I)= 1.2E-04
 SIGMAX(I)= 4.19991E+08



MERENI BYLO PROVEDENO NA KOM
 VSST V LIBERCI METODOU
 ELEKTROLYTICKEH OILEPTAVANI
 INESRPEN98
 HODNOTA PNUTI SIGMA (I)
 PLOCHEHO YZORKU.CISLO:3.28.
 HK(I) JE HLOUBKA POD POVRCHEM, V NIZ
 BYLO NAPETI ZJISTOVANO
 (MERENI PROVADIL KOMENDA)
 I= 1 HK(I)= 5E-05
 SIGMAX(I)= -2.84143E+09
 I= 2 HK(I)= 1E-05
 SIGMAX(I)= -1.80324E+09
 I= 3 HK(I)= 1.5E-05
 SIGMAX(I)= -2.64835E+09
 I= 4 HK(I)= 2E-05
 SIGMAX(I)= 1.90859E+08
 I= 5 HK(I)= 2.5E-05
 SIGMAX(I)= -3.68631E+07
 I= 6 HK(I)= 3E-05
 SIGMAX(I)= -2.12703E+03
 I= 7 HK(I)= 4E-05
 SIGMAX(I)= -1.48526E+03
 I= 8 HK(I)= 5E-05
 SIGMAX(I)= 6.53783E+07
 ?C=USR(24576)

I= 9 HK(I)= 6E-05
 SIGMAX(I)= 1.76758E+08
 I= 10 HK(I)= 7E-05
 SIGMAX(I)= 2.36973E+08
 I= 11 HK(I)= 8E-05
 SIGMAX(I)= 3.08692E+08



MERENI BYLO PROVEDENO NA KOM
VSST V LIBERCI METODOU
ELEKTROLYTICKEH ODELEPTAVANI
DNESRPEN90

HODNOTA PNUTI SIGMA (I)
PLOCHEHO VZORKU.CISLO:3.38.
HK I) JE HLUBKA POD POVRCHEM.V NIZ
BYLO NAPETI ZJISTOVANY
(MERENI PROVADIL KOMENDA)

I= 1 HK I)= 5E-06
SIGMAX(I)=-7.34906E+08
I= 2 HK I)= 1E-05
SIGMAX(I)=-9.90033E+08
I= 3 HK I)= 1.5E-05
SIGMAX(I)= 5.87545E+08
I= 4 HK I)= 2E-05
SIGMAX(I)= 6.49019E+08
I= 5 HK I)= 3E-05
SIGMAX(I)= 3.87397E+08
I= 6 HK I)= 4E-05
SIGMAX(I)= 2.12539E+08
I= 7 HK I)= 5E-05
SIGMAX(I)= 1.46481E+08
I= 8 HK I)= 6E-05
SIGMAX(I)= 3.89116E+07
?C=USR(24576)

I= 9 HK I)= 7E-05
SIGMAX(I)=-8.83034E+07
I= 10 HK I)= 8E-05
SIGMAX(I)=-1.92687E+08
I= 11 HK I)= 9E-05
SIGMAX(I)=-4.37796E+07
I= 12 HK I)= 1E-04
SIGMAX(I)= 1.44882E+08

